

Rozsah grafických prací: výkresové a grafické práce v rozsahu dle požadavku zadání

Rozsah průvodní zprávy: cca 40 stran textu včetně výpočtů

Seznam odborné literatury: výkresové podklady ZŠS Detva k nakladači UNC 060

Vedoucí diplomové práce: Doc. Ing. Stanislav Bereš, CSc.

Datum zadání diplomové práce: 1. 12. 1987

12. 5. 1989

Termín odevzdání diplomové práce:



A handwritten signature in black ink.

Prof. Ing. Vladimír Prášil, DSc.

Děkan

Doc. Ing. Oldřich Červinka, CSc.

Vedoucí katedry

v Liberci dne 1. 12. 1987

## ZADÁNÍ DIPLOMOVÉ PRÁCE

(PROJEKTU, UMĚLECKÉHO DÍLA, UMĚLECKÉHO VÝKONU)

Miroslav Flekal

pro

obor 23-20-08 Stroje a zařízení pro strojírenskou výrobu

Vedoucí katedry Vám ve smyslu nařízení vlády ČSSR č. 90/1980 Sb., o státních závěrečných zkouškách a státních rigorózních zkouškách, určuje tuto diplomovou práci:

Název tématu: Nakládací plošina ke kolejovému nakladači UNC 060

### Zásady pro vypracování:

1. Seznamte se s celkovým řešením a uspořádáním kolejového nakladače UNC 060, zvláště pozornost věnujte zejména řešení pracovního ústrojí nakladače.
2. Vypracujte studii možných konstrukčních řešení nakládací (zvedací) plošiny jako doplnkového pracovního zařízení nakladače. Nakládací plošinu navrhnete ve dvou variantách& jednak pro ruční vyprazdrování nákladu z plošiny (kusevý náklad), jednak pro mechanické nucené vyprazdrování plošiny (rozměrnější břemena, různé zemědělské produkty apod., kdy není účelné použití obvyklé nakládací lepaty s vysypáváním nákladu).
3. Při návrhu řešení vycházejte z následujících technicko-prevozních požadavků:
  - šířka plošiny 1700 mm
  - hloubka plošiny 800 mm
  - nejvyšší hmotnost nákladu 600 kg
  - jednoduchá montáž zařízení na přední část výložníku nakladače, využití standartního vybavení hydraulického systému nakladače
4. Konstrukční řešení musí obsahovat výkres celkové sestavy, sestavy hlavních uzelů a výrobní výkres samotné nakládací plošiny. Řešení musí být doleženo podrobnejší úvodní studií, zdůvodněním navržených řešení a příslušnými kinematickými a pevnostními výpočty.

VYSOKÁ ŠKOLA STROJNÍ A TEXTILNÍ  
Ústřední knihovna  
LIBEREC 1, STUDENTSKÁ 5  
PSČ 461 17

V 110 189 S

Vysoká škola strojní a textilní v Liberci  
nositelka řádu práce

Fakulta strojní

Katedra strojů průmyslové dopravy

Ober 23 - 20 - 8

Stroje a zařízení pro strojírenskou výrobu  
zaměření

stroje a zařízení pro průmyslovou dopravu

### NAKLÁDACÍ PLOŠINA KE KOLOVÉMU NAKLADAČI UNC 060

KSD - 192

Miroslav F L E K A L

Vedoucí práce: Doc. Ing. Stanislav Beroun, CSc.

#### Rozsah práce a příloh

Počet stran:	57
Počet obrázků:	33
Počet tabulek:	3
Počet výkresů:	9
Počet příloh:	2

26.5 1989

**MÍSTOPŘÍSEŽNÉ PROHLÁŠENÍ**

Místopřísežně prohlašuji, že jsem diplomovou práci  
vypracoval samostatně s použitím uvedené literatury a  
s pomocí konzultanta.

v Liberci 10.5.1989

Miroslav Flekáč

## **PODĚKOVÁNÍ**

Děkuji s. Doc. Ing. Stanislavu Hercounovi za poskytnuté konzultace při řešení diplomové práce, za pomoc při konstrukčním řešení nástroje a za odborné vedení.

V Liberci 10.5.1989

Miroslav Flekář

## OBSAH

	str.
<b>ÚVOD</b>	<b>10</b>
<b>1. POPIS STROJE UNC 060</b>	<b>13</b>
1.1 Použití UNC 060	13
1.2 Rám stroje, motor	13
1.3 Řízení stroje	14
1.4 Pracovní zařízení, hydraulický systém	15
1.5 Pracovní ústrojí, stabilizace pracovního nástroje	18
<b>2. NÁVRHY NÁSTROJE S NUCENÝM VYPRAZDŇOVÁNÍM</b>	<b>20</b>
2.1 Ovládání pracovního nástroje	20
2.2 Základní části nástroje	20
2.3 Konstrukční návrhy plošiny s nuceným vyprazdňováním	21
2.4 Zhodnocení jednotlivých pohonů	23
2.5 Uložení pohonu vzhledem k rámu nástroje	24
2.6 Konečné řešení nástroje a mechanismu vysouvání	26
<b>3. NÁVRH PLOŠINY BEZ AUTOMATICKÉHO         VYPRAZDŇOVÁNÍ</b>	<b>27</b>
<b>4. PEVNOSTNÍ A SILOVÉ VÝPOČTY</b>	<b>28</b>
4.1 Výpočet vysouvací síly	28
4.2 Silové poměry na vysouvacím mechanismu a kontrole navrženého hydromotoru	29

	str.
<b>4.3 Úvaha o možnosti překlopení desky</b>	<b>31</b>
<b>4.4 Rozbor namáhání jednotlivých dílů a jejich výpočet</b>	<b>34</b>
<b>4.4.1 Hřídel A - výpočet průměru, kontrola</b>	<b>34</b>
<b>4.4.2 Hřídel A - kontrola drážkování</b>	<b>40</b>
<b>4.4.3 Hřídel A - výpočet svěrného spoje vysouvací páky</b>	<b>41</b>
<b>4.4.4 Čep B + C - kontrola</b>	<b>43</b>
<b>4.4.5 Čep D - kontrola</b>	<b>45</b>
<b>4.4.6 Vysouvací tyče</b>	<b>46</b>
<b>4.4.7 Rameno</b>	<b>48</b>
<b>4.4.8 Kontrola vysouvací páky a uložení čepu hydromotoru</b>	<b>53</b>
<b>5. HYDRAULIKA ZAJIŠŤUJÍCÍ VYSOUVÁNÍ DESKY</b>	<b>54</b>
<b>ZÁVĚR</b>	<b>56</b>
<b>SEZNAM POUŽITÉ LITERATURY</b>	<b>57</b>

SEZNAMEM POUŽITÝCH OZNÁCENÍ

a, b, c,	délkové rozměry	mm
d	průměr	mm
d	délka ramene	mm
e	délka převislého konce hřídele	mm
f	součinitel tření	l
g	tíhové zrychlení	$m s^{-2}$
i	polemér setrvačnosti	mm
j	převodový pákový poměr	l
k	bezpečnost	l
l	délka hřídele mezi podporami	mm
m	hmotnost	kg
m	modul	mm
P	tlak	MPa
t	šířka ramene	mm
x	odlehlosť od osy	mm
z	zdvih hydromotoru	mm
z	počet zubů	l
E	modul pružnosti	MPa
E	šířka uložení hřídele	mm
F	šířka uložení vysouvací páky	mm
G	zatížení	N
L	délka hřídele	mm
N	normálová síla	N
S	plecha	$mm^2$
T	třecí síla	N
$\alpha, \beta, \gamma, \delta$	úhly	o
v	součinitel sevření	l

$\sigma$	napětí	MPa
$\lambda$	štíhlosť prutu	1
$d_H$	průměr pístnice	mm
$l_0$	redukovaná délka prutu	mm
$P_D$	dovolený tlak v uložení	MPa
$P_m$	tlakový spád hydromotoru	MPa
$D_H$	průměr válce hydromotoru	mm
$F_B$	síla v bodě B	N
$F_D$	síla v bodě D	N
$F_H$	síla hydromotoru	N
$F_O$	síla předpětí šroubu	N
$F_V$	vysouvací síla	N
$F_{HB}$	síla v bodě B kolmá na rameno	N
$F_{VC}$	celková vysouvací síla	N
$F_{VD}$	síla v bodě D kolmá na rameno	N
$F_{HM}$	maximální síla hydromotoru	N
$F_{KR}$	kritická síla dle Tetmajera	N
$F_1$	síla na desce v bodě 1	N
$F_2$	síla na desce v bodě 2	N
$M_D$	dovolený utahovací moment na šroubu	N·m
$M_G$	moment desky k bodu D	N·m
$M_O$	ohybový moment	N·m
$M_U$	utahovací moment	N·m
$M_{KA}$	kroutící moment na hřídeli A	N·m
$M_{KAM}$	maximální kroutící moment na hřídeli a	N·m

$M_{KRED}$	redukovaný moment	N·m
$M_{omax}$	maximální ohybový moment	N·m
$M_{FVC}$	moment desky v bodě D od síly $F_{vc}$	N·m
$J_{min}$	kvadratický moment průměru	$mm^4$
$R_A, R_B$	reakce v bodech A, B	N
$S_V$	výpočetový průměr šroubu	$mm^2$
$S_{SV}$	nosný průřez svaru	$mm^2$
T	třecí síla	N
$W_K$	průřezový modul v krutu	$mm^3$
$W_O$	průřezový modul v ohýbu	$mm^3$
$\sigma_k$	mez kluzu	MPa
$\sigma_o$	napětí v ohýbu	MPa
$\sigma_v$	napětí ve vzpěru	MPa
$\sigma_{D.}$	dovolené napětí v ohýbu	MPa
$\sigma_{DE}$	dovolené napětí v tahu	MPa
$\sigma_{KR}$	kritické napětí pro nepružný vzpěr	MPa
$\tau_K$	napětí v krutu	MPa
$\tau_{DK}$	dovolené napětí v krutu	MPa
$\lambda_m$	mezní štíhlost	l

## ÚVOD

Na jaře roku 1986 XVII. sjezd KSČ vytyčil kvalitativně nový způsob řízení naší ekonomiky. Z jeho jednání vyplynula nevyhnutelnost urychlení sociálně ekonomického rozvoje naší společnosti, podstatné zvýšení efektivnosti a výkonnosti našeho národního hospodářství. Hlavní smysl našeho úsilí spatřujeme především v tom, abychom dosáhli dalšího zvýšení životní úrovně lidu a upevnili jeho sociální jistoty. Jde o to vytvářet podmínky pro uspokojování nových, kvalitativně vyšších potřeb občanů, pro harmonický rozvoj esobnosti a prohlubování socialistického způsobu života.

Dosažení těchto cílů vyžaduje, abychom náš další postup opírali o mnohem rozhodnější a důslednější uskutečňování strategické linie urychlení sociálně ekonomického rozvoje zejména cestou intenzifikace národního hospodářství. Toto je podmíněno podstatným urychlením vědecko-technického pokroku a důsledným zaváděním jeho výsledků do praxe. Ve vědě a technice probíhá skutečná revoluce. Dlouhodobé strategii intenzifikace národního hospodářství, opírající se o vědeckotechnický pokrok, musí být podřízen mechanismus řízení a plánování a celá investiční politika. Vyžadujeme stále zvyšovat organizovanost a disciplínu, zásadně zlepšit styl práce a vytvářet odpovídající tvorivou a činorodou atmosféru. Musíme rozhodněji překonávat stereotypy, technický konzervatismus, setrvačnost a návyky poplatné extenzivnímu rozvoji hospodářství.

Možnosti k tomu má naše ekonomika stále dost. Ve srovnání s jinými průmyslově vyspělými státy trvá u nás dosud například nízké využití základních fondů, stále vysoká surovinevná a materiálová náročnost výroby, kterou je třeba snížit. Značné rezervy jsou ve využití pracovní doby, v organizaci práce a výroby i v celém systému řízení.

V urychlování vědeckotechnického pokroku a v modernizaci výrobní základny musí rozhodnou úlohu sehrát strojírenství. Jeho výroba má v této pětiletce vzrůst zhruba o čtvrtinu. V tomto odvětví je proto třeba uskutečňovat mnohem aktivněji technickoinovační politiku, plněji využívat možnosti a přednosti socialistické ekonomické integrace,

specializace a kooperace výroby, rozhodněji zužovat sortiment a zvyšovat sériovost produkce.

Před strojírenstvím stojí závažný úkol zabezpečit při plném zapojení do mezinárodní socialistické integrace výrobu ucelených systémů a komplexů strojů a zařízení, přistrojů nejvyšší technicko-ekonomické úrovně, zajišťujících zásadní změny v technologických a organizaci výroby.

Strojírenství tvoří páteř našeho průmyslu. Pracuje v něm velký počet vysoce kvalifikovaných dělníků, techniků, konstruktérů i dalších odborníků, kteří představují významný tvůrčí potenciál.

Požadavkům, které klademe na strojírenství, je třeba podřídit i hutní výrobu, její strukturu a sortiment, její modernizaci a rekonstrukci. Hutní výroba je nedílnou součástí strojírenské výroby.

Naplnění hospodářských cílů též vyžaduje další rezvýjení a modernizování v oblasti manipulace s materiélem.

Manipulaci s materiélem nazýváme souhrn operací skládajících se z nakládky, přepravy, vykládky, tedy i z dopravy materiálu, poštovarů, z technologických manipulací, z dopravy výrobků, z jejich skladování, vážení, balení atd.

Problematiku manipulace s materiélem je možné charakterizovat mnoha údaji. Za všechny lze uvést např. tyto:

- z celkového počtu pracovníků v průmyslu v celém našem národním hospodářství se plných 40 - 50 % zabývá manipulací s materiélem
- náklady na manipulaci činí např. ve strojírenství asi 20 % celkových nákladů na zpracování
- z celkového průběžného času výroby připadá 20 - 90 % na manipulaci s materiélem /to je dáno typem a charakterem výrobního procesu/
- reční ztráty z titulu poškozování při přepravě, manipulaci a skladování se odhadují na 7 až 8 miliard Kčs, viz [1]

Z uvedeného je zřejmé, že manipulace s materiélem /a s ní související skladové hospodářství/ představuje nejen důležitý zdroj pracovních sil v našem státě, ale má vliv na tvorbu zásob a růst nákladů, především ze ztrát. Je tedy problematika manipulace s materiélem jednou z hlavních

oblastí výrobních procesů, u nichž je třeba prosazovat pokrokové řešení a zvyšování jejich technické úrovně.

Manipulace s materiálem však klade vysoké nároky nejen na organizaci a efektivnost práce, ale i na práci jako takovou. Není žádným tajemstvím, že manipulace je vysoko fyzicky namáhavá činnost. Z této skutečnosti vyplývá i fakt časné únavy pracovníků, což když dovedeme do důsledků má za následek snížení pozornosti, rychlosti reakce, zvýšení úrazovosti, atd.

Proto efektivní manipulace s materiálem je možná pouze s prostředky, které ji usnadňují, zrychlují, snižují fyzickou námahu a zvyšují bezpečnost práce.

Základní prostředky pro manipulaci tvoří vysokozdvížné vozíky, výťahy, lanovky, jeřáby, ruční vozíky, atd. a v neposlední řadě i kolové lopatové nakladače. Užitné vlastnosti těchto zařízení lze ještě podstatně zvýšit vhodným přídavným zařízením a to ať již sériově vyráběným a dodávaným k určitému prostředku manipulace, či speciálně konstruovaným pro daný případ.

Protože zaměření diplomové práce je na přídavný pracovní nástroj ke kolovému lopatovému nakladači, rád bych se trochu podrobněji věnoval této skupině prostředků pro manipulaci s materiálem.

Kolové lopatové nakladače jsou hlavně určeny pro nakládání či skládání sypkých či drobných materiálů jako je např. písek, hlína, štěrk; pro dezérské práce, atd. Mají vlastní spalovací motor sloužící k pojezdu nakladače a k ovládání pracovního zařízení. Pracovní zařízení je umístěno většinou vpředu na nakladači. Základním nástrojem je lepata či universální lepata. K základnímu nástroji je však dodáván široký sortiment přídavného zařízení.

Jedním z představitelů skupiny kolových lepatových nakladačů je UNC 060, na který je konkrétně konstruován přídavný pracovní nástroj, který najde uplatnění při manipulaci s materiálem a má tedy v oblasti manipulace bezprostřední význam.

V další části diplomové práce se budu již konkrétně věnovat nakladači UNC 060, návrhu prac. zařízení a jeho konstrukci.

## 1. POPIS STROJE UNC 060

Kolevé lopatové nakladače tvoří zvláštní skupinu zařízení pro nakládku a vykládku. Jsou to stroje uzpůsobené pro práci se sypkými a málo soudržnými hmotami, s drobným kusovým zbožím atd.

Nakladač může být buď speciálně konstruován a vyráběn pro daný účel, nebo může vzniknout dodatečnou montáží nakládacího zařízení na některý universální stroj.

Nadále se budu zabývat popisem a celkovým uspořádáním manipulačního universálního čelního nakladače UNC 060.

### 1.1 Použití UNC 060

Nakladač UNC 060 vyrábí národní podnik ZŠS Detva. Je konstruován na speciálním podvozku bez rejstrových kol, tzv. systém "MELROE". Tento systém se vyznačuje jednoduchou konstrukcí podvozku i nakládacího zařízení.

Universální čelní nakladač UNC 060 je samohybný stroj na čtyřkolovém podvozku, který po namontování základního nebo přídavného pracovního zařízení se může používat na nakládání, přemisťování, hrnutí zemin či jiného materiálu, případně na manipulaci s nimi. Přídavné pracovní zařízení, je uvedeno v příloze 1.

UNC 060 je použitelný ve stavebnictví, lesním hospodářství, zemědělství, dopravě, ale i v průmyslu, kde pro malé stísněné pracovní prostory nebo z ekonomických důvodů není možné či výhodné použít stroj větší.

Nakladač popíše podle jednotlivých skupin na něm se vyskytujících.

### 1.2 Rám stroje, motor

Rám stroje je svařovaný. Je na něm uchyceno pracovní zařízení, boční převodovky, bezpečnostní kabina, motor s pohonem hydrogenerátorů, palivová a olejová nádrž a kapotáž.

Pohon pojezdu nakladače je hydrostatický. Energie spalovacího motoru je přenášena na axiální regulační čerpadla, kde se mění na tlakovou energii. Tato energie se

dále mění v axiálních hydromotorech na mechanickou práci, která se přenáší mechanickým převodem přes převodovku na kola pro každou stranu zvlášť. Oba dva obvody pojezdu nakladače jsou jištěny proti tlaku většímu než 35 MPa.

Motor je čtyřdobý, tříválcový, řadový, vznětový, kapalinou chlazený typu ZETOR o výkoně 34,2 kW při otáčkách  $2200 \text{ min}^{-1}$ , viz tabulka 1.

Výkon z motoru je přenášen výše popsaným způsobem na kola, která jsou všechna hnací. Pohon kol je nezávislý pro každou stranu zvlášť. Kola jsou neodpružená, uložená každé zvlášť na převodových skříních pojezdu.

Parametr	Hodnota	Poznámka
Typ	ZETOR 4901,74	čtyřdobý tříválec s přímým vstřikem
Výkon	$34,2 \text{ kW}$	při $2200 \text{ min}^{-1}$ ,
Spotřeba paliva	$250 \text{ g/kWh}$	

tab.1

### 1.3 Řízení a brzdové ústrojí stroje

Řízení stroje se provádí nezávislým obládáním pohybu kol jedné strany vůči straně druhé co do velikosti i smyslu otáčení. Nakladač se tak může otočit prakticky "na místo". Řízení stroje je řešeno dvěma pákami, kterými se přestavuje sklon regulační desky každého regulačního hydrolateru zvlášť.

Nakladač je vybaven dvěma na sobě nezávislými brzdovými systémy. Je to systém provozní brzdy, která působí na všechna čtyři kola. Brzdový účinek je vyvolán vrácením ovladačů v kabíně do neutrálu, způsobí zablekování otáčení hydromotoru pojezdu a přes převodovku s převody v stálém záběru na kola nakladače.

Druhý brzdový systém je systém parkovací brzdy. Jedná se o lamelovou brzdu umístěnou v boční převodovce. Ovládaná je hydraulicky. Brzdění zabezpečuje přitlak pružiny přes lamely a stálý převod na kola. Parkovací brzda pro pravou a levou převodovku je na sobě nezávislá. Při vypnutí nebo

zhasnutí motoru působí automaticky.

#### 1.4 Pracovní zařízení, hydraulický systém

Ovládání pohybu pracovního zařízení a pracovního nástroje je provedeno přes hydraulické ovladače. Pohyby pracovního zařízení a pracovního nástroje jsou vykonávané pomocí přímočarých hydromotorů. Zdrojem tlakového oleje je zubový hydrogenerátor. Tlakový olej z hydrogenerátoru se rozvádí rozvaděčem. Hydraulický systém je chráněný pojistným ventilem na 15 MPa .

Hydraulický systém nakladače má tři samostatné obvody se společnou filtrace, nádrží hydraulického oleje a chladičím systémem. Tlaky v jednotlivých okruzích viz tabulka 2 a obr. 1.

Pracovní obvod	Tlak /MPa/
Pojízd nakladače	35
Pracovní zařízení	15
Ovládání	3

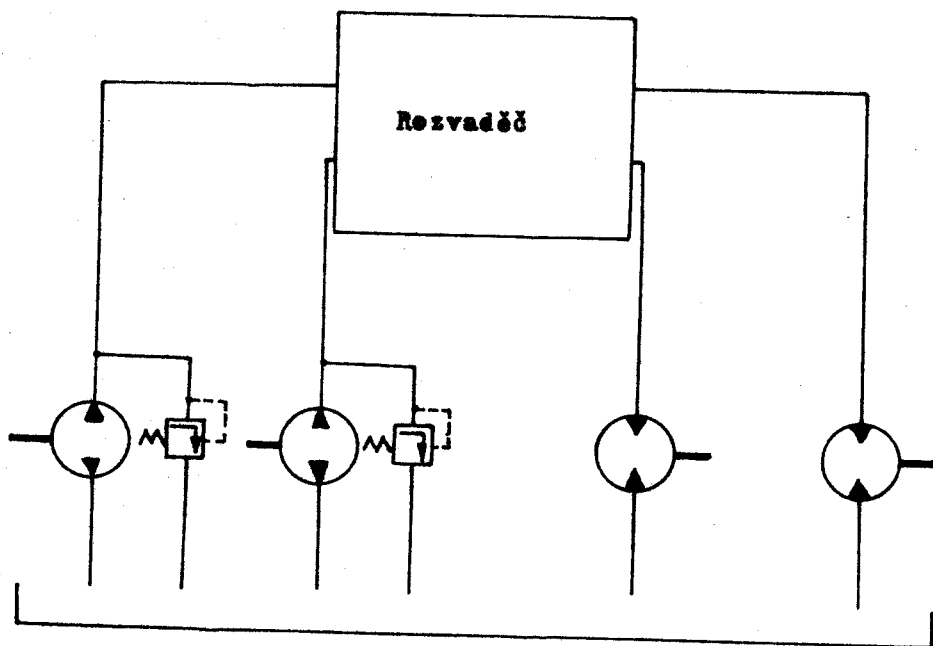
tab.2

Pracovní zařízení stroje tvorí dvojramenný výložník svářené skříňové konstrukce. Je upevněný na zadní části rámu. Zvedání a spouštění se provádí pomocí přímočarého motoru. Druhý hydromotor má svoji specifickou funkci při stabilizaci pracovního nástroje /podrobněji kapitola 1.5/.

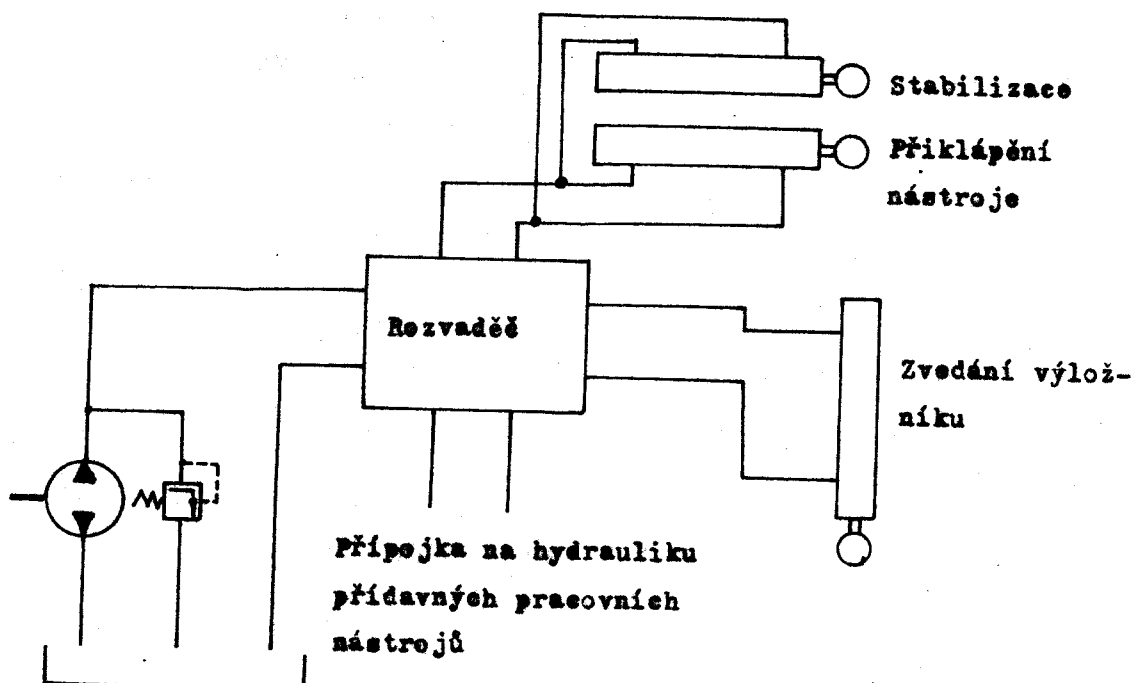
Karosérie nakladače UNC 060 je celokovová a skládá se z několika dílů. Kabina řidiče je taktéž celokovová, bezpečnostní. Je pružně uložená na rámu. Kabina splňuje požadavek na dobrý výhled do pracovního prostoru nakladače, k čemuž slouží taktéž dvě zpětná zrcátka.

Hlavní technické údaje viz tabulka 3 a obr. 2.

Dále bych se ještě podrobněji věnoval pracovnímu ústrojí nakladače a stabilizaci pracovního nástroje při zvedání výložníku.



Zjednodušený obvod pojedou

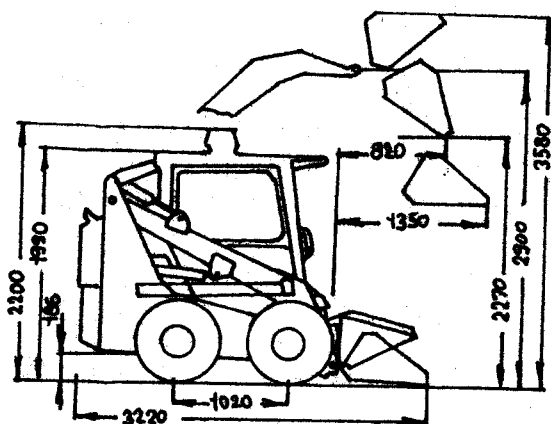


Zjednodušený obvod pracovního zařízení  
/pracovní obvod ovládání není kreslen/

obr.1

Technické údaje	Hodnoty
Šířka stroje s pneumatikami	1700 /mm/
Rezched kol	1435 /mm/
Geometrický obsah základní lopaty	0,375 /m <sup>3</sup> /
Provozní hmotnost se základní lopatou	2955 /kg/
Celková hmotnost stroje	3705 /kg/
Maximální hnací síla	24 /kN/
Tlačná síla	22 /kN/
Nominální nosnost	750 /kg/
Zdvihací síla	19,2 /kN/
Trhací síla	16 /kN/
Trvalá rychlosť vpřed	12 /kmh <sup>-1</sup> /
Práce na svahu se sníženou stabilitou	10°

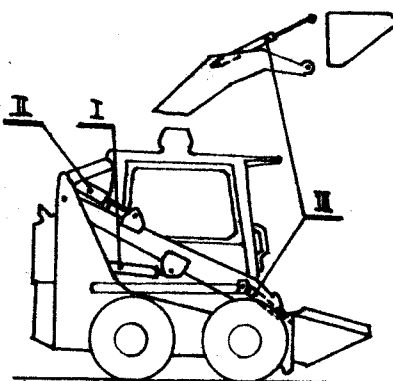
tab.3



obr.2

## 1.2 Pracovní ústrojí nakladače, stabilizace pracovního nástroje

Jak již bylo uvedeno, pracovní ústrojí nakladače tvoří dvojramenný výložník, který je zvedán přímočarým hydromotorem I, viz schéma na obr. 3.



obr.3

Hydromotor II slouží v podstatě jako odměrný válec hydraulického oleje, který odměřuje v závislosti na poloze výložníku vůči zemi.

Hydromotor III je stabilizačním hydromotorem pracovního nástroje, to znamená, že udržuje neměnnou orientaci pracovního nástroje vůči zemi. Kdyby nebyla stabilizace pracovního nástroje provedena, nabíraný materiál by se při zvedání výložníku vysypal.

Při práci nakladače pracuje celý systém takto: Nakladač najede do nabíraného materiálu. Pomocí hydromotoru III přiklopí lepatu směrem k výložníku. Potom hydromotorem I začne výložník zvedat, tzn. pístnice hydromotoru I se začne vysouvat. V závislosti na vysunutí pístnice I se zasuňuje pístnice hydromotoru II a vytlačuje olej z tohoto hydromotoru II do stabilizačního hydromotoru III, jehož pístnice se při zvedání výložníku vysunuje. Jak již bylo uvedeno, množství vytlačeného oleje z hydromotoru II je závislé na poloze výložníku a protože se tento olej dopravuje do hydromotoru III, je zřejmé, že pohyb výložníku a pohyb hydromotoru III jsou vůči sobě jednoznačně dány. Vhodnou

Velkou rozměru hydromotoru II, III /mám na mysli Ø pistů a pistnic, délky zdvihu/ se dosáhne stabilizace pracovního nástroje vůči zemi, to znamená, že orientace pracovního nástroje zůstává stejná bez ohledu na polohu výložníku, a nabíraný materiál se nemůže vysypat.

Hydromotory I, II, III jsou umístěny tak, aby jejich pistnice byly v co možná nejvyšší míře chráněny před nečistotami, což se ve svém důsledku projeví ve vyšší životnosti.

Za zmínu stojí fakt, že po výložníku jsou až ke přední partii nakladače vedeny hadice s tlakovým olejem, viz výkres - připojení hydraulického zařízení - KSD 192 - 0.13; a vytváří tak zdroj hnací energie pro případný pracovní nástroj. Takto je například poháněno vrtací zařízení, které má vlastní hydromotor a tlakovou energii dodává nakladač.

Je zřejmé, že kolový čelní nakladač UNC Q60 má vysoké užitné vlastnosti díky své universálnosti a množství dodávaného přídavného pracovního zařízení. Mezi tímto zařízením však chybí nakládací plošina pro kusový náklad či rozměrnější břemena, různé zemědělské produkty, atd.

Konstrukce této plošiny pro ruční i nucené vyprazdňování je úkolem této diplomové práce. Tato plošina by měla být konkrétně určena např. pro nakládání hnoje, siláže, ale i kusový náklad, jako jsou pytle s hnojivem, s cementem, atd.

## 2. NÁVRHY NÁSTROJE S NUCENÝM VYPRAZDŇOVÁNÍM

### 2.1 Ovládání pracovního nástroje

Pracovní nástroj je automaticky stabilizován hydraulickým obvodem, který je součástí stroje UNC 060. Po výložníku je veden přívod tlakového oleje, který zajišťuje nucené vysouvání přepravovaného materiálu /různé zemědělské produkty, kusový náklad, atd./. Vysouvání zajišťuje vlastní pracovní část nástroje /vysouvací deska/.

Možnosti ovládání pracovní části nástroje:

- přímočarý hydromotor
  - rotační hydromotor /pomalé vysouvání a zasouvání/
- Jiné pohony /např. elektromotor/ nejsou vhodné z hlediska pracovního prostředí a složitosti napájení energií.

### 2.2 Základní části nástroje

Nakládací plošinu s nuceným vyprazdňováním tvoří tyto části:

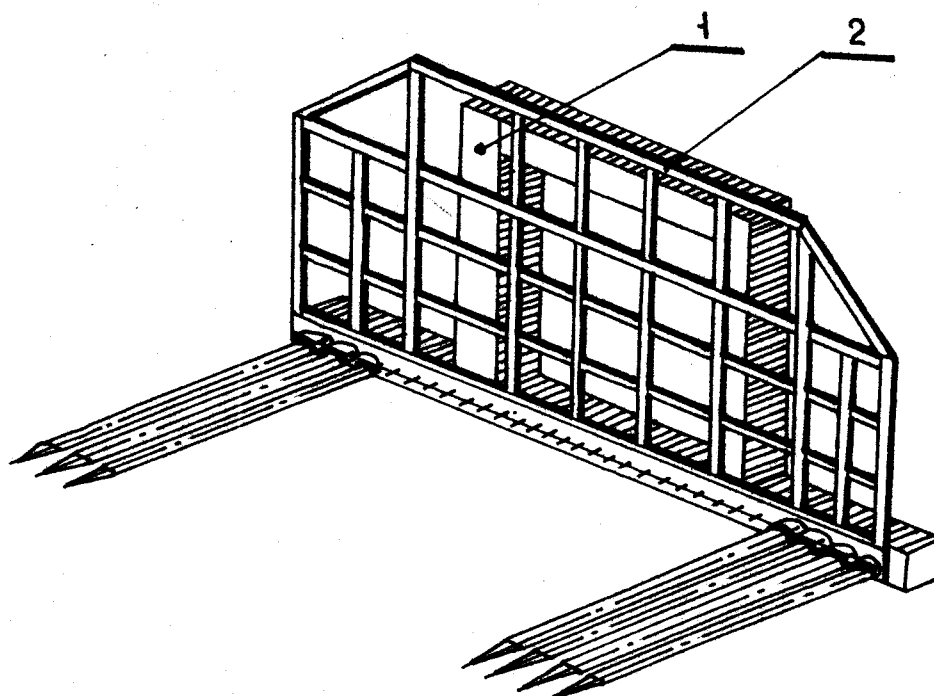
- základní rám
- deska popř. vidle tvořící dno nástroje
- vysouvací deska či jiné zařízení nuceného vyprazdňování
- vodicí části /zajišťují vedení desky při vysouvání/
- vysouvací převody či mechanismus
- pohon nuceného vyprazdňování

Na základním rámu, který tvoří kostru celého nástroje musí být uchycena jak deska tvořící dno, tak celý vysouvací mechanismus i jeho pohon. Dále na základním rámu musí být vytvořeny závěsy, pomocí kterých je nástroj uchycen na výložníku.

## 2.3 Konstrukční návrhy plošiny s nuceným vyprazdňováním

### Návrh I

Tato konstrukce plošiny by byla zvláště vhodná pro nakládání hnaje a siláže, neboť najíždění do materiálu je usnadněno hroty vidlí. Tekutiny, obsažené v hnoji či v siláži, mohou odtéci mezi vidlemi a při manipulaci již jen minimálně znečišťují prostor nakládky.

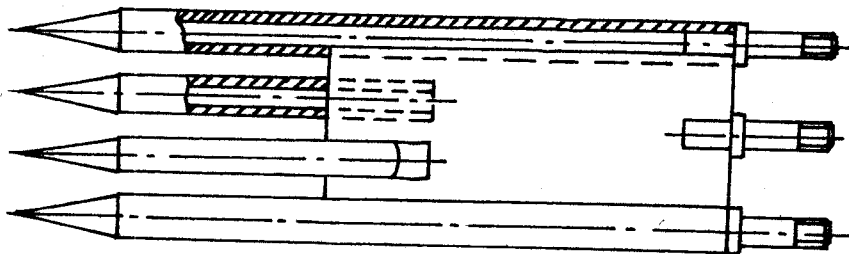


obr.4

U tohoto návrhu jsou jednotlivé vidle namontovány na základní rám /poz. 1/ samostatně pomocí čepu. Deska /poz. 2/ je tvořena z obdélníkových profilů, na které se dále musí umístit vysouvací rameno. Vedení desky je zajištěno pomocí pouzder na krajních vidlicích.

### Návrh II

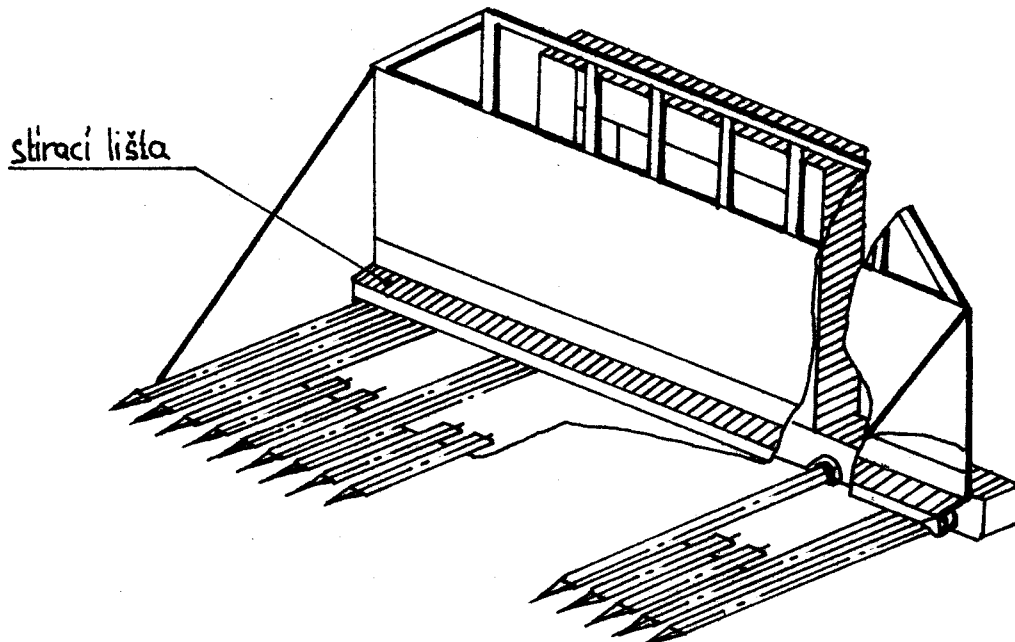
Tento návrh se liší od návrhu č. 1 pouze v tom, že na vysouvací deskou /tvořenou obdélníkovými profily/ je navařen plech, který zabréni propadávání přepravovaného materiálu deskou. Dále pak vidle jsou združeny do sad tím způsobem, že na každé tři je zeshora přivářen plech. /obr. 5/. Těmito úpravami by se měla zvýšit tuhost nástroje.



obr.5

#### Návrh III

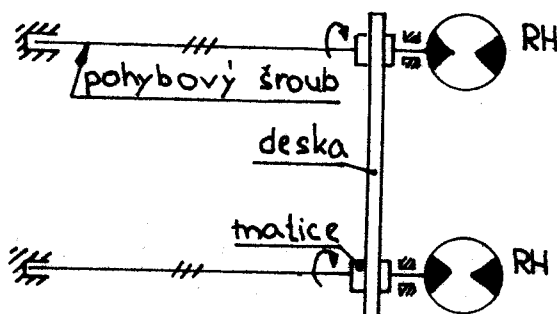
U obou dvou předešlých návrhů byla společná nevýhoda a to ta, že při vysunování materiálu z nástroje dochází k vysypávání téhoto materiálu do stran. Tuto nevýhodu odstraňuje tento III. návrh, a to tak, že na vysouvací desku jsou připevněny bočnice, dále je zde střírací lišta /obr. 6/.



obr.6

#### Návrh IV

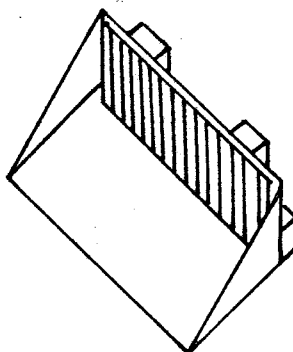
Tenté návrh má základní odlišnost v pohonu desky. Odlišnost spočívá v použití rotačních hydromotorů. U toho návrhu je nástroj stejný jako u návrhu č. III /obr. 6/, pouze se liší v tom, že v krajních vedících vidlicích jsou pohybové šrouby a pomocí matice se vysouvá deska /obr.7/.



ebr.7

### Návrh V

Tento návrh se vrací k přímočarym motorům. Dno nástroje je tvořeno pevným plným plechem, který je pevně uchycen na rámu. Ke dnu jsou pevně připevněny bočnice, mezi kterými se pohybuje vysouvací deska /ebr. 8/. Tento typ plošiny je vhodný pro kusový materiál, či sypký materiál /zemina, písek, atd./. Dno nástroje je plechové, celistvé, bez otvorů, kterými by materiál mohl propadávat.



ebr.8

### 2.4. Zhodnocení jednotlivých pohonů

Návrhy pohonů jsou dva:

- a/ přímočary hydromotor + pákový převod
- b/ rotační hydromotor + převod šroub-matice

ed a/

Pohon přímočarym hydromotorem se zdá být lepší. Je zde dosta-

tečně vysoká síla potřebná k vysunutí, která se dá ještě upravit pomocí pákového převodu. Vysouvací mechanismus je dosti jednoduchý a tím i málo poruchový, je zde i dostatečná rychlosť vysunutí.

a/ ad b/

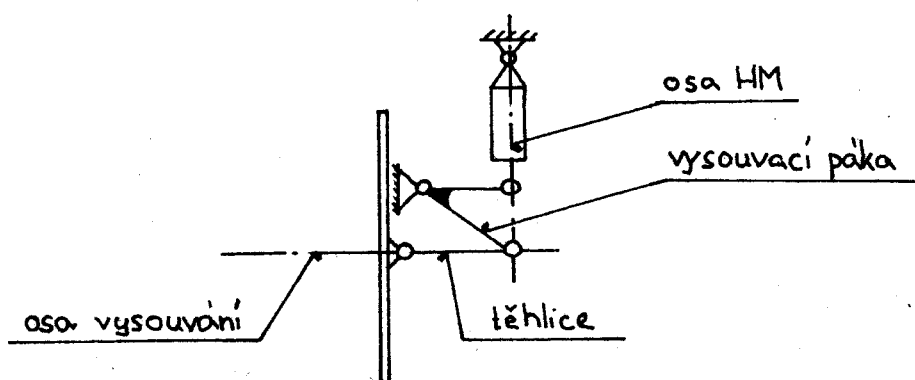
Pohon rotačním hydromotorem již není tak výhodný jako předešlý pohon. Nevýhody spočívají ve větší složitosti převodu, tím dochází i k větší poruchovosti, celý mechanismus je méně tuhý. Vysouvací rychlosť je v tomto případě také nižší než u předechozího mechanismu.

Z tohoto hodnocení vyplývá, že přímočarý motor je pro tento nástroj nejvhodnější.

#### 2.5 Uložení pohonu vzhledem k rámu nástroje

Jelikož tedy použiji přímočarý hydromotor, budu se zabývat jeho uložením.

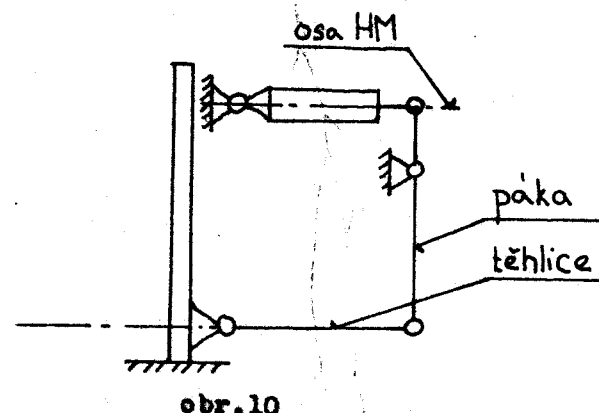
a/ Hydremotor má hlavní osu kolmo na osu vysouvání /obr. 9/ a je umístěn horizontálně.



obr.9

Nevýhodou je velká prostorová náročnost z hlediska velikosti vysouvací páky a těhlice.

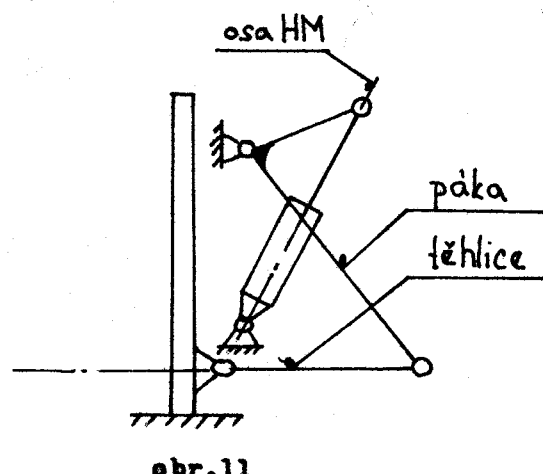
b/ Hydromotor má hlavní osu rovnoběžně s osou vysouvání /obr. 10/ a je umístěn horizontálně.



obr.10

Nevýhodou je opět prostorová náročnost.

c/ Hydromotor má hlavní osu různoběžnou s osou vysouvání /obr. 11/ a je umístěn vertikálně.



obr.11

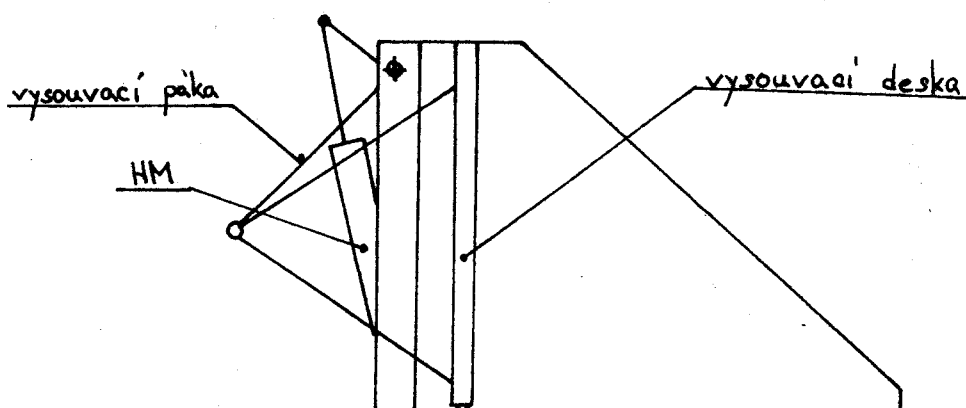
Nevýhodou u tohoto návrhu je, že pracovní tlak působí ze strany pistnice a je tudíž nižší síla než kterou je hydromotor schopen vyvodit při působení tlaku ze strany pistu. Výhodou je ovšem to, že zde nejsou velké prostorové nároky, protože hydromotor je uložen uvnitř rámu.

## 2.6 Konečné řešení nástroje a mechanismu vysouvání

Zvolil jsem konečné řešení, které vyplývá z návrhu č. V /obr. 8/ a řešení mechanismu ad c. /obr. 11/.

- dno nástroje je tvořeno plechovou deskou
- dno, bočnice a rám budou základním svařencem, na kterém je umístěno celé mechanické vysouvání + vysouvací deska
- vedení vysouvací desky je provedeno pomocí silenových koleček, která jezdí po dnu nástroje, směr vysouvání zajišťují vysouvací ramena
- pracovní zdvih motoru je zasouvání
- vzhledem k silovým a rozměrovým poměrům bude na nástroji jeden přímočarý hydromotor, který bude přes hřídel nahánět jeden páru vysouvacích pák na každé straně nástroje.

Konečné řešení viz obr. 12



obr.12

### 3. NÁVRH PLOŠINY BEZ AUTOMATICKÉHO VYPRAZDŇOVÁNÍ

Nakládací plošina bez automatického vyprazdňování, viz výkres KSD 192 - Q.12 a KSD 192 - O.22; je konstruována z normalizovaných profilů. V konstrukci byl brán ohled na co nejjednodušší systém uchycení na pracovní stroj. Ten-to systém uchycení je převzat stejně jako u plošiny s automatickým vyprazdňováním ze základní lopaty. Plošina bez automatického vyprazdňování byla navržena spíše jako varianta, proto není podrobně rozkreslena a pevnostně kontrolována. Její konstrukční varianty jsou stejné jako u plošiny s automatickým vyprazdňováním. Oproti plošině s automatickým vyprazdňováním je zde změněno připojení uchycovacího zařízení na základní rám plošiny, protože chybějící výsuvný mechanismus umožňuje toto zařízení přichytit přímo na zadní desku nástroje, čímž se zlepší stabilita nakladače, protože celkový klopný moment nakladače k předním kolům bude menší.

#### 4. PEVNOSTNÍ A SILOVÉ VÝPOČTY

##### 4.1 Výpočet vysouvací síly

Při výpočtu vysouvací síly vycházím ze zadané nejvyšší hmotnosti nákladu /viz Zadání diplomové práce/.

Zatížení nástroje vypočítám dle vztahu /1/.

$$G = m \cdot g$$

kde: G....zatížení

m....hmotnost

g....gravitační zrychlení

$$G = 600 \cdot 9,81 = 5886 \text{ N}$$

$$\underline{G = 5900 \text{ N}}$$

/1/

Z tohoto známého zatížení již vypočítám vysouvací sílu  $F_y$  hydromotoru. Vysouvací sílu počítám z bezpečnosti vysunutí  $k = 1,5$ . Dále uvažuji, že když materiál opustí desku a bude se sунout po druhém materiálu a zároveň tento materiál se bude odsevávat před sebou, tak dojde ke změně součinitele tření. Součinitel tření předpokládám  $f = 0,8$ , protože plošina je určena pro nákladku rozmanitých druhů materiálu, hnejsem počinaje a pytlí s cementem konče. Celková vysouvací síla bude tedy dle vztahu /2/.

$$F_{VC} = G \cdot f \cdot k$$

kde:  $F_{VC}$ ....celková vysouvací síla

f.....součinitel tření

k.....bezpečnost vysunutí

/2/

$$F_{VC} = 5900 \cdot 0,8 \cdot 1,5 = 7080 \text{ N}$$

$$\underline{F_{VC} = 7100 \text{ N}}$$

Protože pro ovládání vysouvací desky nástroje jsem zvolil pouze jeden přímočarý hydromotor, bude síla potřebná k vysunutí, kterou tento hydromotor přes mechanický převod bude muset vyvinout, rovná síle  $F_{CV}$ .

$$F_y = F_{CV}$$

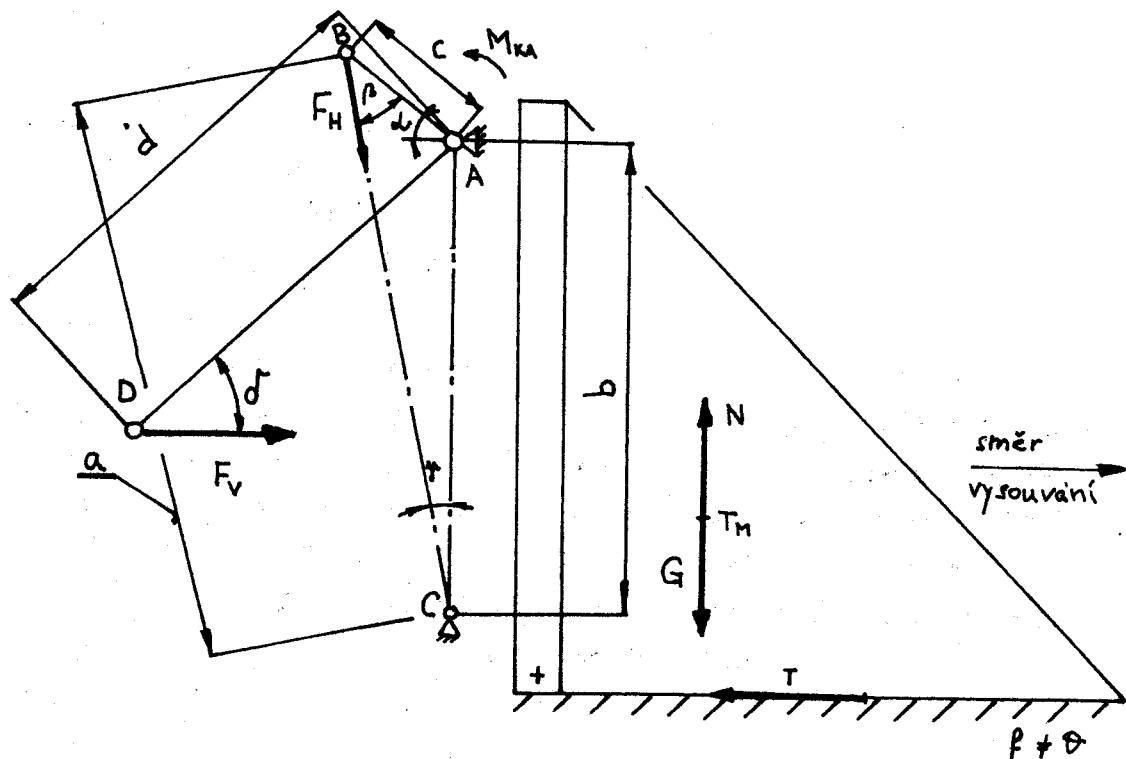
kde:  $F_y$ ....vysouvací síla na hydromotor

/3/

$$F_y = 7100 \text{ N}$$

#### 4.2 Silevé poměry na vysouvacím mechanismu, kontrola HM.

Výpočet je prováděn podle konkrétního řešení mechanismu viz přiložené výkresy konstrukce nástroje.



obr.13

Na obr. 13 jsou základní rozměry mechanismu vysouvání.

Rozměry:  $a = l + z$  kde:  $l$  .... délka zvoleného hydromotoru  
 $z$  ..... zdvih hydromotoru

$$a = 526 \text{ /mm/}$$

$$b = 450 \text{ /mm/} \quad \text{/vypočítáno dle vztahu /4//}$$

$$c = 100 \text{ /mm/}$$

$$d = 500 \text{ /mm/}$$

$$\alpha = 45^\circ$$

$$\beta = 37^\circ$$

$$\gamma = 8^\circ$$

$$\delta = 37^\circ$$

$$b = \sqrt{a^2 + c^2 - 2 \cdot a \cdot c \cdot \cos \beta}$$

$$b = \sqrt{526^2 + 100^2 - 2 \cdot 526 \cdot 100 \cdot \cos 37^\circ} = 450 \text{ /mm/}$$

/4/

### Silové poměry na mechanismu

$F_V$  .... vysouvací síla na jeden hydromotor

$F_H$  .... síla hydromotoru

$M_{KA}$  .... kreuticí moment na hřídeli

G .... zatížení

N .... normálná síla

$T = N \cdot f$  .... třecí síla

/5/

### Rovnice rovnováhy

$$N - G = 0$$

/6/

$$T \neq F_V = 0$$

/7/

$$T = N \cdot f$$

$$F_V = N \cdot f = G \cdot f$$

/8/

Dále musí platit:

$$M_{KA} = F_V \cdot \sin \delta \cdot d = F_H \cdot \sin \beta \cdot e$$

/9/

Pomocí vztahu /9/ vypočítám po úpravě potřebnou sílu na hydromotoru:

$$F_H = F_V \frac{\sin \delta}{\sin \beta} \cdot i$$

/10/

kde:  $i$  .... pákový převod

$$i = \frac{d}{e} = \frac{500}{100} = 5$$

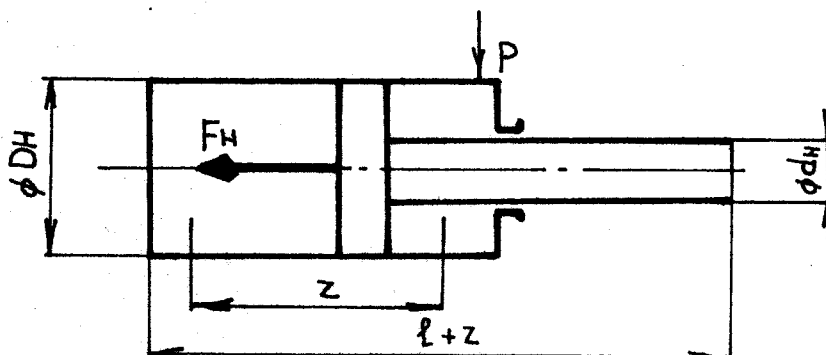
$$F_H = 7100 \frac{\sin \delta}{\sin \beta} \cdot 5 = 35 500 \text{ N}$$

$$\underline{F_H = 35 500 \text{ N}}$$

Tuto sílu  $F_H$  musí hydromotor vyvodit, aby došlo k bezpečnému vysunutí. Zvělil jsem hydromotor HM 40/160.

Přesné označení hydromotoru je:

PČH HM 40/160 - 111 111 - TP HM 1 - 9 - 8141



obr.14

kde:  $D_H$  .... pístu  $D_H = 80 \text{ /mm/}$   
 $d_H$  .... pístnice  $d_H = 40 \text{ /mm/}$   
 $z$  .... zdvih  $z = 160 \text{ /mm/}$

#### Kontrola hydromotoru

pracovní tlak .....  $p = 15 \text{ /MPa/}$

tlakový spád .....  $p_m = 0,8 \cdot p$

$$F_{HM} = p_m \cdot S$$

kde:  $F_{HM}$  .... maximální síla využitelná hydromotorem

$S$  .... plácha pístu

$$F_{HM} = 0,8 \cdot p \frac{D_H^2 - d_H^2}{4} \cdot \pi$$

/11/

$$F_{HM} = 0,8 \cdot 15 \cdot \frac{80^2 - 40^2}{4} \cdot \pi = 45\ 239 \text{ /N/}$$

$F_{HM} = 45\ 300 \text{ /N/}$

Bezpečnost hydromotoru:  $k = \frac{F_{HM}}{F_H}$

/12/

$$k = \frac{45\ 300}{35\ 500} = 1,27$$

$k = 1,27$

Navržený hydromotor vyhovuje a měl by i s dostatečnou bezpečností vysunout materiál.

Všechny další výpočty budou prováděny pro nejnepříznivější případ, který by mohl nastat a to je, že by se deska z nějakých důvodů nezačala vysouvat a hydromotor by vydal maximální sílu  $F_{HM}$  a na hřídeli maximální kružnicí moment  $M_{KAM}$ , t.j.:

$F_{HM} = 45\ 300 \text{ /N/}$

$$M_{KAM} = F_{HM} \sin \alpha \cdot e$$

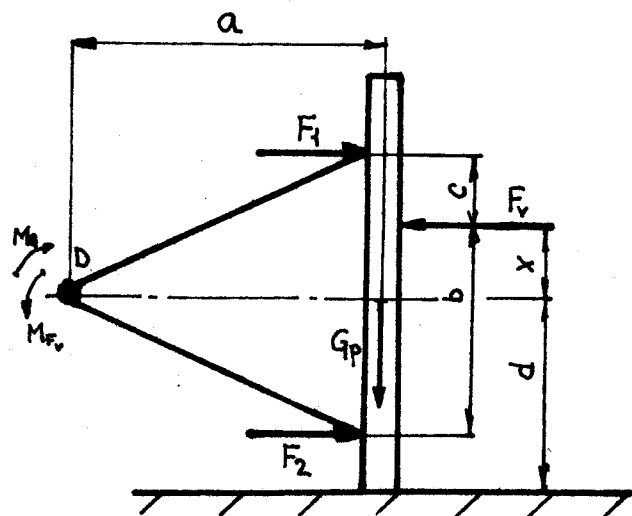
/13/

$$M_{KAM} = 45\ 300 \cdot \sin 37^\circ \cdot 100 = 2\ 726 \cdot 10^3 \text{ /Nm/}$$

$M_{KAM} = 2\ 726 \text{ /Nm/}$

#### 4.3 Úvaha o možnosti překlopení desky

Vyjdu z předpokladu maximální nosnosti nástroje  $G = 5\ 900 \text{ /N//}$ . Pro toto zatížení je vypočtena potřebná síla na vysunutí  $F_V = 7\ 100 \text{ /N/}$ . Silové poměry jsou naznačeny na obr.15 :



obr.15

kde  $F_v$  .... celková vysouvací síla

$F_1, F_2$  ... sily odvozené od max. síly hydromotera

$$F_1 = F_2 = \frac{1}{2} \cdot F_{HM} \cdot \frac{1}{i}$$

$$F_1 = F_2 = \frac{1}{2} \cdot 45\ 300 \cdot \frac{1}{5} = 4530 \text{ /N/}$$

$$a = 520 \text{ /mm/}$$

$$b = 180 \text{ /mm/}$$

$$c = 180 \text{ /mm/}$$

$$d = 300 \text{ /mm/}$$

$x$  .... výška nad bodem D, kdy by již došlo k překlepení působením síly  $F_v$

$G_p$  .... tíha vyseuvací desky  $/G_p = 500 \text{ /N//}$

Podmínka překlepení:

$$M_{FV} > M_{GP}$$

$$M_{FV/D} = F_v \cdot x + F_2 \cdot b \quad /14/$$

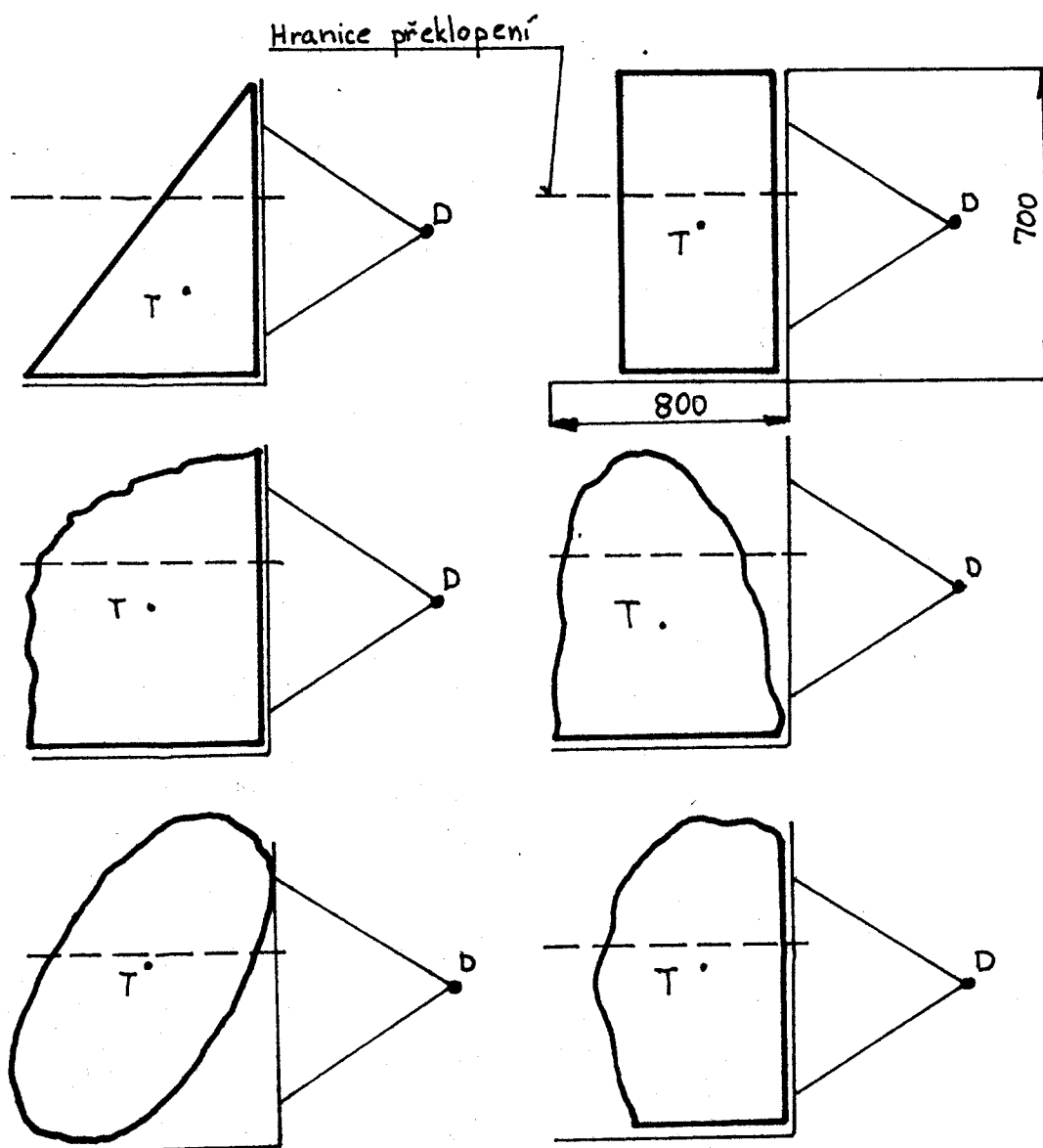
$$M_{GP/D} = F_1 \cdot c + G_p \cdot a \quad /15/$$

Za vztahů /14/ a /15/ po úpravě dostaneme:

$$\frac{x}{x} = \frac{F_1 \cdot c + G_p \cdot a - F_2 \cdot b}{F_v}$$

$$\frac{x}{x} = \frac{4\ 530\ 180 + 500\ 520 - 4\ 530\ 180}{7\ 100} = 36,6 \text{ /mm/}$$

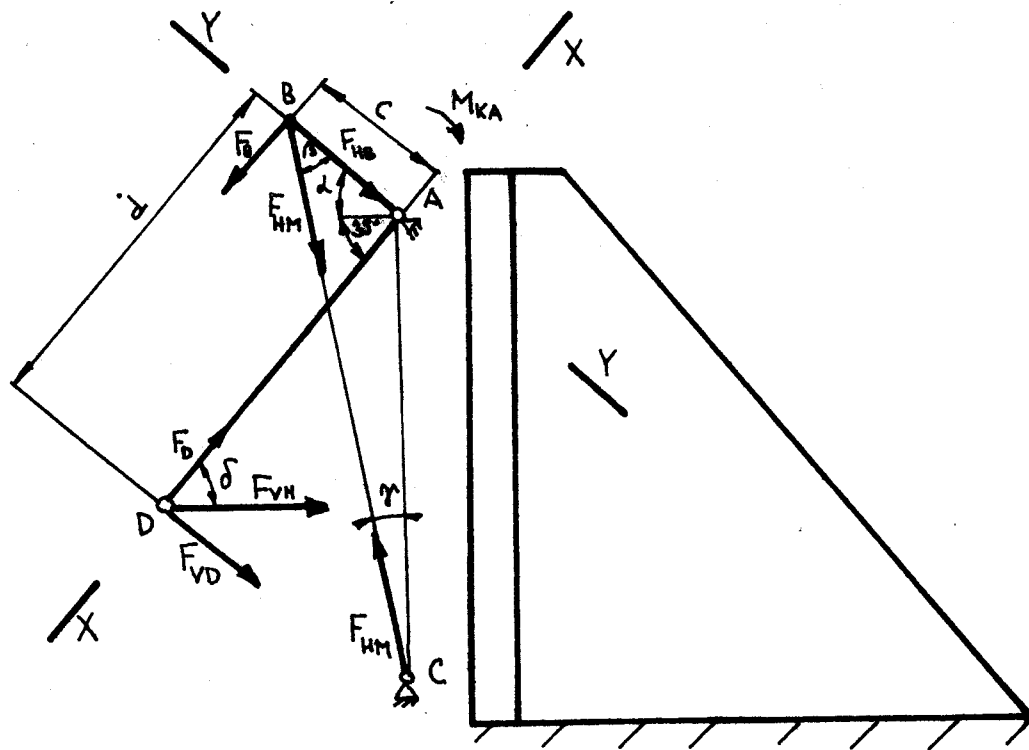
Pokud by měla dojít k překlopení desky, musela by vysouvací síla  $F_y$  působit nad bodem d o  $36 \text{ /mm}$ , to znamená, že těžiště naloženého materiálu by muselo být ve výšce  $336 \text{ /mm}$  nad dnem nástroje. Z obr.16 jsou patrné některé možné polohy přepravovaného materiálu. Je vidět, že hranice překlopení leží vždy nad těžištěm přepravovaného materiálu a tedy k překlopení nedojde, neboť na to, že hned po pohnutí vysouvací desky již silový rozklad vyplývající z kinematiky jejího pohybu bude vysouvací desku tlačit ke dnu a tím zabráňovat jejímu překlopení.



obr.16

#### 4.4 Rozbor namáhání jednotlivých dílů a jejich výpočet.

Rozbor a pevnostní výpočty prováděny pomocí [ 5 ].



obr.17

Z obr.17 je patrné, že:

- Hřídel A - namáhán - krutem  $M_{KA}$  / ....  $F_{HB}$  c
- krutem  $M_{KA}$  / ....  $F_{VD}$  d
- ohyblem .....  $F_{VB}$
- ohyblem .....  $F_D$

Čep B + C - namáhán - stříhem .....  $F_{HM}$

Čep D - namáhán - stříhem .....  $F_{VH}$

Vysouvací tyče - namáhány - vzpěrem a ohyblem

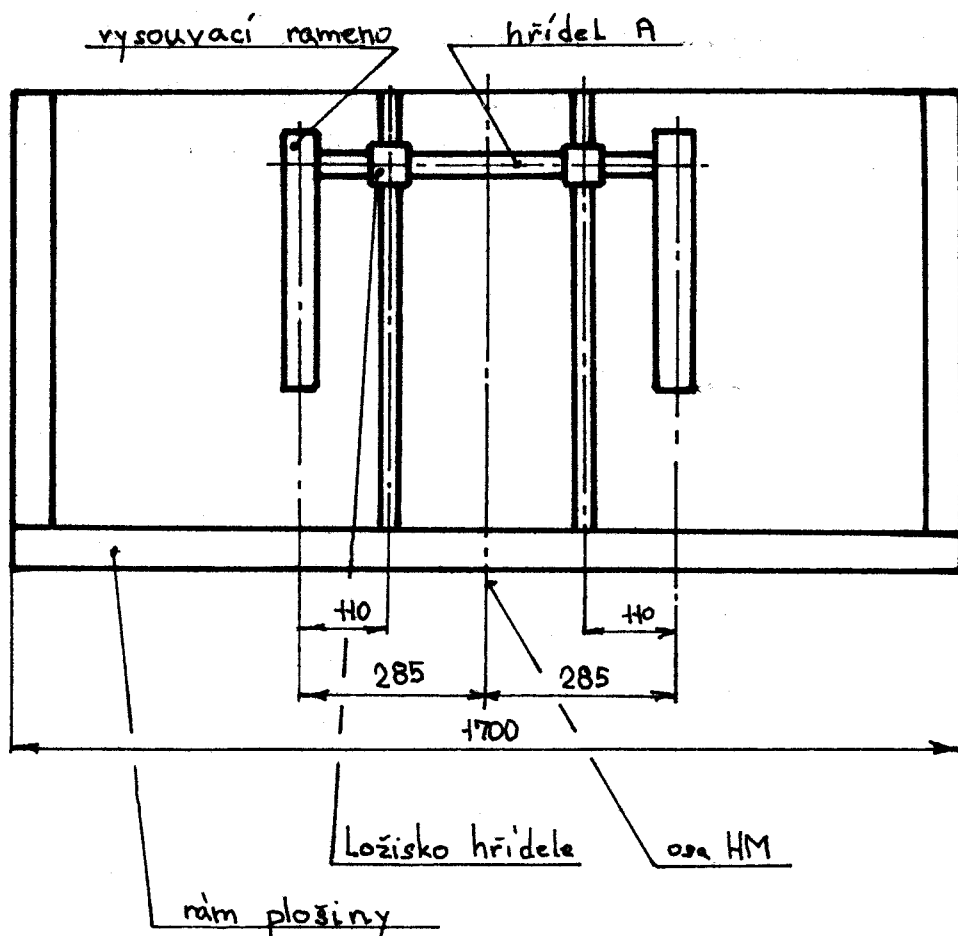
Ramena - namáhána - ohyblem

#### 4.4.1 Hřídel A - výpočet průměru, kontrola.

Všechny délkové rozměry vycházejí z konstrukčního řešení. Tyto rozměry jsou patrné na obr.18 a obr.19, kde je zachyceno rozmištění vysouvacího mechanismu a základní rozměry hřídele.

Při výpočtu šířky hřídele použiju principu superpozice. Na obr.19 je schematicky znázorněn hřídel a jeho zatížení v rovinách X - X a Y - Y. Poloha rovin je zřejmá z obr.17. Na obr.19 je dále znázorněn v obou rovinách průběh posouvající síly  $T/x$  a ohybový moment  $M/x$ . Průběhy z obou rovin se geometricky sčítou, čímž dostaneme výsledné namáhání nosníku.

Z tohoto namáhání budeme vycházet při kontrole i návrhu celého hřídele.



obr.18

Výpočet reakcí v rovině X - X /viz obr.19/

Vzhledem k tomu, že nosník je souměrný a souměrně zatižen, bude platit:

$$R_{AX} = R_{BX}$$

Dále platí, že:

$$F_{DX} = \frac{1}{2} \cdot F_{VH} \cdot \frac{\sin 43^\circ}{\sin 100^\circ}$$

/16/

$$F_{VH} = F_{HM} \cdot \frac{1}{i}$$

/17/

/18/

Po úpravě vztahů /17/ a /18/ dostaneme:

$$F_{DX} = \frac{1}{2} \cdot F_{HM} \cdot \frac{1}{i} \cdot \frac{\sin 43^\circ}{\sin 100^\circ}$$

$$F_{DX} = \frac{1}{2} \cdot 45\ 300 \cdot \frac{1}{5} \cdot \frac{\sin 43^\circ}{\sin 100^\circ} = 3137,1 \text{ N}$$

$$\underline{F_{DX} = 3\ 140 \text{ N}}$$

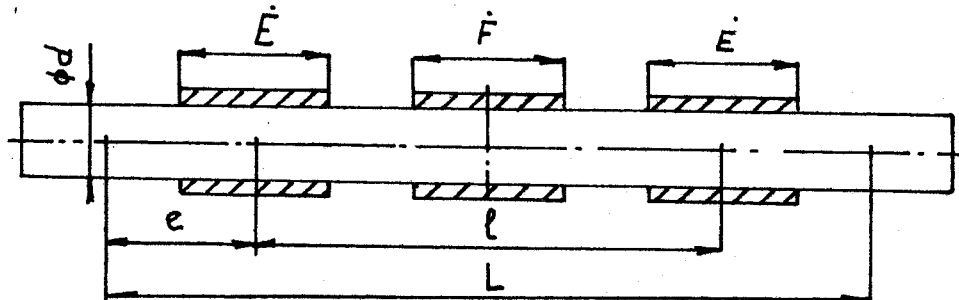
Rovnice rovnováhy:

$$- 2 \cdot F_{DX} - R_{AX} - R_{BX} + F_B = 0$$

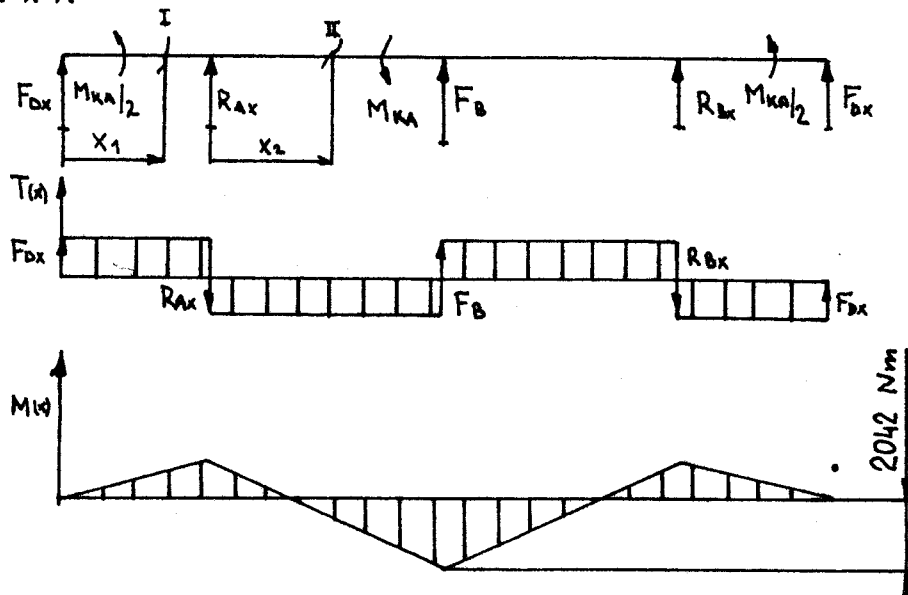
/19/

Z ohledem na vztah /16/ platí:

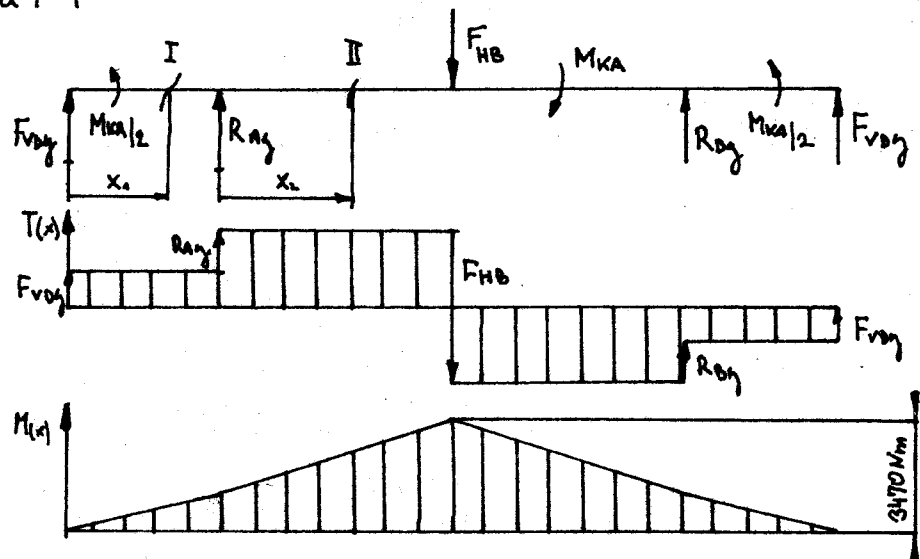
$$- 2 \cdot F_{DX} - 2 \cdot R_{AX} - F_B = 0$$



Rovina X-X



Rovina Y-Y



Obrázek není kreslen v měřítku

$$e = 110 \text{ /mm/}$$

$$l = 350 \text{ /mm/}$$

$$L = 570 \text{ /mm/}$$

$$\dot{x} = 2 \text{ z 40 /mm/}$$

$$\dot{P} = 130 \text{ /mm/}$$

obr.19

$$R_{AX} = R_{BX} = \frac{-2 \cdot F_{DX} \cdot F_B}{2}$$

/20/

kde:

$$F_B = F_HM \cdot \sin\beta$$

/21/

$$F_B = 45 300 \cdot \sin 37^\circ = 27 262,2 \text{ /N/}$$

$$R_{AX} = R_{BX} = \frac{-2 \cdot 3 140 - 27 262,2}{2} = 16 771,1 \text{ /N/}$$

$$\underline{R_{AX} = R_{BX} = -16 780 \text{ /N/}}$$

Výpočet reakcí v jednotlivých průřezech I, II.

Kaz I:

$$x_1 = \langle 0, \bullet \rangle$$

$$- F_{DX} - T/x_1 = 0$$

$$T/x_1 = - F_{DX}/x_1 = - 3 140 \text{ /N/}$$

$$M/x_1 = F_{DX} \cdot x_1 = 0$$

$$M/x_1 = F_{DX} \cdot x$$

$$M/0 = 0 \text{ /Nm/}$$

$$M/\bullet = 3 140 \cdot 110 \cdot 10^{-3} = 345,4 \text{ /Nm/}$$

Kaz II:

$$x_2 = \langle 0, \frac{1}{2} \rangle$$

$$- F_{DX} - R_{AX} - T/x_2 = 0$$

$$T/x_2 = - 19 920 \text{ /N/}$$

$$M/x_2 = F_{DX} \cdot \bullet + x_2 - R_{AX} \cdot x_2 = 0$$

$$M/0 = 345,4 \text{ /Nm/}$$

$$M/\frac{1}{2} = - 2 042 \text{ /Nm/}$$

Výpočet reakcí v rovině Y - Y

Pro sílu  $F_{HB}$  platí:

$$F_{HB} = F_{HM} \cdot \cos$$

/22/

$$F_{HB} = 45 300 \cdot \cos 37^\circ = 36 178,2 \text{ /N/}$$

$$\underline{F_{HB} = 36 180 \text{ /N/}}$$

Síla  $F_{VDY}$ :

$$F_{VDY} = \frac{1}{2} \cdot F_{VH} \cdot \frac{\sin 37^\circ}{\sin 100^\circ}$$

/23/

$$F_{VDY} = \frac{1}{2} \cdot F_{HM} \cdot \frac{1}{l} \cdot \frac{\sin 37^\circ}{\sin 100^\circ}$$

$$F_{VDY} = \frac{1}{2} \cdot 45\ 300 \cdot \frac{1}{5} \cdot \frac{\sin 37^\circ}{\sin 100^\circ} = 2\ 768,3 \text{ /N/}$$

$$\underline{F_{VDY} = 2\ 770 \text{ /N/}}$$

Rovnice rovnováhy:

$$2 \cdot F_{VDY} + 2 \cdot R_{AY} - F_{HB} = 0$$

/24/

$$R_{AY} = R_{BY} = \frac{F_{HB} - 2 \cdot F_{VDY}}{2}$$

/25/

$$R_{AY} = R_{BY} = \frac{36\ 180 - 2 \cdot 2770}{2} = 15\ 320 \text{ /N/}$$

$$\underline{R_{AY} = R_{BY} = 15\ 320 \text{ /N/}}$$

Výpočet reakcí v řezech I, II.

Řez I - I:

$$x_1 = \langle 0, e \rangle$$

$$F = F_{VDY} + T_{/x/} = 0$$

$$T_{/x/} = - F_{VDY} = - 2770 \text{ /N/}$$

$$M_{/x/} = F_{VDY} \cdot x = 0$$

$$M_{/0/} = 0 \text{ /Nm/}$$

$$M_{/e/} = 304,7 \text{ /Nm/}$$

Řez II - III:

$$x_2 = \langle 0, \frac{l}{2} \rangle$$

$$F_{VDY} + R_{AY} + T_{/x/} = 0$$

$$T_{/x/} = - 18\ 090 \text{ /N/}$$

$$M_{/x/} = F_{VDY} \cdot e + x_2 \cdot R_{AY} \cdot x_2 = 0$$

$$M_{/0/} = 304,2 \text{ /Nm/}$$

$$M_{/\frac{l}{2}/} = 4\ 470,5 \text{ /Nm/}$$

Z průběhu ohybových momentů v rovinách X - X, Y - Y je patrné, že největší ohybový moment bude uprostřed hřídele. Tyto momenty z obou rovin geometricky sečtu a dostanu výsledný moment  $M_0$  zatěžující nosník.

$$M_0 = \sqrt{M_{OX}^2 + M_{OY}^2 - 2 \cdot M_{OX} \cdot M_{OY} \cdot \cos 100^\circ} \quad /26/$$

$$M_0 = \sqrt{2042^2 + 3\ 470^2 - 2 \cdot 2\ 042 \cdot 3\ 470 \cdot \cos 100^\circ} = 4\ 321,1 \text{ /Nm/}$$

$$M_0 = 4\ 322 \text{ /Nm/}$$

Dále k ohybovému momentu příčtu kroutící moment  $M_{KAM}$  dle vztahu /27/ a dostanu výsledný redukovaný moment  $M_{Kred}$ .

$$M_{Kred} = \sqrt{M_0^2 + 0,75 M_{KAM}^2} \quad /27/$$

$$M_{Kred} = \sqrt{4\ 322^2 + 0,75 \cdot 2\ 726^2} = 4\ 923,9 \text{ /Nm/}$$

$$M_{Kred} = 4\ 924 \text{ /Nm/}$$

Na hřídel volím materiál 14 220, jeho parametry jsou:

$$\sigma_{Dt} = 235 \text{ /MPa/} \dots \text{dovolené napětí v tahu}$$

$$\tau_{Dk} = 0,65 \cdot 235 = 152,75 \text{ /MPa/} \dots \text{dovolené napětí v krutu}$$

$$p_D = 100 \text{ /MPa/} \dots \text{dovolený tlak}$$

$$\tau_K = \frac{M_K}{W_K} = \frac{M_{Kred} \cdot 16}{d^3 \cdot \pi} \quad /28/$$

Za vztahu /28/ vyjádřím d:

$$d = \sqrt[3]{\frac{16 \cdot M_{Kred}}{\pi \cdot \tau_{Dk}}} \\ d = \sqrt[3]{\frac{16 \cdot 4\ 924 \cdot 10^3}{\pi \cdot 152,75}} = 54,75 \text{ /mm/}$$

Volím hřídel o průměru  $d = 60 \text{ /mm/}$

Po zpětném dosazení do /28/:

$$\tau_K = \frac{4\ 924\ 000 \cdot 16}{\pi \cdot 60^3} = 116,1 \text{ /MPa/}$$

Bezpečnost hřídele:

$$X = \frac{\tau_{Dk}}{\tau_K} \quad /29/$$

$$X = \frac{152,75}{116,1} = 1,32$$

Kontrola hřídele na měrný tlak v místě uložení:

$$P = \frac{R}{d \cdot E} < p_D \quad /30/$$

kde:

$$R_A = \sqrt{R_{AX}^2 + R_{AY}^2 - 2 \cdot R_{AX} \cdot R_{AY} \cdot \cos \cdot 100^\circ} \quad /31/$$

$$R_A = \sqrt{16\ 780^2 + 15\ 320^2 - 2 \cdot 16\ 780 \cdot 15\ 320 \cdot \cos \cdot 100^\circ} = 24\ 607,9 \text{ /N/}$$

$$R_A = R_B = 24\ 610 \text{ /N/}$$

$$p = \frac{24610}{60 \cdot 2 \cdot 40} = 5,13 \text{ MPa} / < p_D / \text{vyhovuje}$$

Kontrola na měrný tlak v místě vysouvací páky:

$$p = \frac{F_B}{d \cdot F}$$

/32/

$$p = \frac{27262}{60 \cdot 130} = 3,5 \text{ MPa} / < p_D / \text{vyhovuje}$$

#### 4.4.2 Hřídel A - kontrola drážkování pro uložení vysouvacích ramen

Výpočet drážkování je proveden dle ČSN O1 4954. Z hlediska zatížení volím evolventní drážkování s úhlem profilu 30 a to proto, že má zhruba o polovinu vyšší únosnost při stejné délce drážek než drážkování rovnoběžné.

Volím:

$$D = 55 \text{ mm}/$$

$$m = 3 \text{ mm}/$$

$$z = 17$$

$$\alpha = 30^\circ$$

- střední provedeno na boky drážek

$$p = \pi \cdot m = \pi \cdot 3 = 9,42 \text{ mm}/ \quad /33/$$

$$d_s = m \cdot z = 3 \cdot 17 = 51 \text{ mm}/ \quad /34/$$

$$d_b = m \cdot z \cdot \cos \alpha = 3 \cdot 17 \cdot \cos 30^\circ = 44,16 \text{ mm}/ \quad /35/$$

$$x_n = \frac{1}{2} \cdot D \neq m \cdot z - 1,1 \cdot m = \frac{1}{2} \cdot 55 - 51 - 1,1 \cdot 3 = \\ = 0,35 \text{ mm}/ \quad /36/$$

$$s = e = \frac{1}{2} \cdot \pi \cdot m + 2 \cdot x \cdot m \cdot \operatorname{tg} \alpha = \frac{1}{2} \cdot \pi \cdot 3 + 2 \cdot 0,35 \cdot \operatorname{tg} 30^\circ = \\ = 5,14 \text{ mm}/ \quad /37/$$

$$D_f = D = 55 \text{ mm}/ \quad /38/$$

$$D_a = D - 2 \cdot m = 55 - 2 \cdot 3 = 49 \text{ mm}/ \quad /39/$$

$$d_{f\max} = D - 2,76 \cdot m = 55 - 2,76 \cdot 3 = 46,72 \text{ mm}/ \quad /40/$$

$$d_a = D - 0,2 \cdot m = 55 - 0,2 \cdot 3 = 54,4 \text{ mm}/ \quad /41/$$

#### Kontrola drážkování:

$$p_D = 100 \text{ MPa}/$$

$$s_d = 68 \text{ mm}^2/$$

$$l_{\min} = \frac{M_{Kred}}{P_D \cdot s_d \cdot D_a}$$

$$l_{\min} = \frac{6 \cdot 274 \cdot 10^3}{100 \cdot 68 \cdot 49} = 18,8 \text{ /mm/}$$

$$\underline{l_{\min} = 19 \text{ /mm/}}$$

/42/

$$F = \frac{M_{Kred}}{d_s}$$

$$F = \frac{6 \cdot 274 \cdot 10^3}{51} = 123 019 \text{ /N/}$$

$$\underline{F = 123 029 \text{ /N/}}$$

$$P = \frac{F}{s_d \cdot l_{\min}}$$

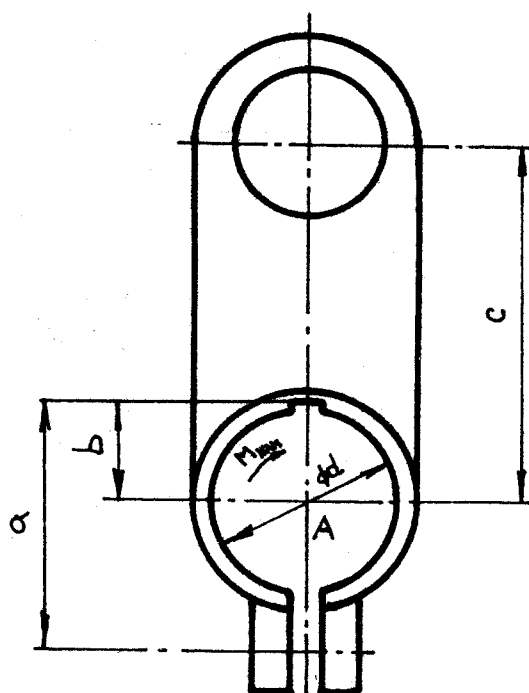
$$P = \frac{123 019}{68 \cdot 19} = 95,2 \text{ /MPa/ } P_D \text{ /vyhovuje/}$$

/43/

Délka drážkování je ve skutečnosti větší / $l = 48 \text{ /mm/}$ /

#### 4.4.3 Hřídel A - Výpočet svěrného spoje vysouvací páky.

Tato páka přenáší pomocí svěrného spoje kružnicí moment od hydromotoru na hřídel A. Svěrné spojení je řešeno tzv. jednostraně rozříznutým nábejem obr.20. Je zde proto, aby se mohl seřídit zdvih hydromotoru na požadovanou hodnotu / $160 \text{ /mm/}$ /:



obr.20

- přenášený kroutící moment:  $M_{KAM} = 2726 \text{ Nm}/$

- rozměry:  $a = 90 \text{ mm}/$

$$b = 32 \text{ mm}/$$

$$c = 100 \text{ mm}/$$

$$\phi d = 60 \text{ mm}/$$

- další hodnoty:  $k = 1,8$

$$\gamma = 0,15$$

$$n = 3$$

- výpočet:

$$F_0 = \frac{2 \cdot k \cdot M_{KAM} \cdot b}{n \cdot \gamma \cdot d \cdot f \cdot a}$$

/44/

kde:  $F_0$  .... síla předpětí na šroubu

$k$  .... součinitel proti počítání

$\gamma$  .... součinitel sevření

$n$  .... počet šroubů

$$F_0 = \frac{2 \cdot 1,8 \cdot 2726 \cdot 10^3 \cdot 32}{3 \cdot 0,15 \cdot 90 \cdot 60} = 41136 \text{ N}/$$

$$\underline{F_0 = 41136 \text{ N}/}$$

Pomocí 4 najdeme šroub: M 20 - 8G

- max.dovolená síla ve šroubu  $F_D = 109 \text{ kN}/$

- max.dovolený utahovací moment  $M_D = 445 \text{ Nm}/$

- výpočtový průřez šroubu  $S_y = 245 \text{ mm}^2/$

Kontrola šroubus:

$$\zeta = \frac{F_0}{S_y}$$

/45/

$$\zeta = \frac{41136}{245} = 167,9 \text{ MPa}/$$

Bezpečnost:

$$k = \frac{\zeta_k}{\zeta}$$

/46/

$$k = \frac{640}{167,9} = 3,8$$

kde:  $\zeta_k = 640 \text{ MPa}/$

Utahevací moment:

$$M_U = k \cdot F_0 \cdot d < M_D$$

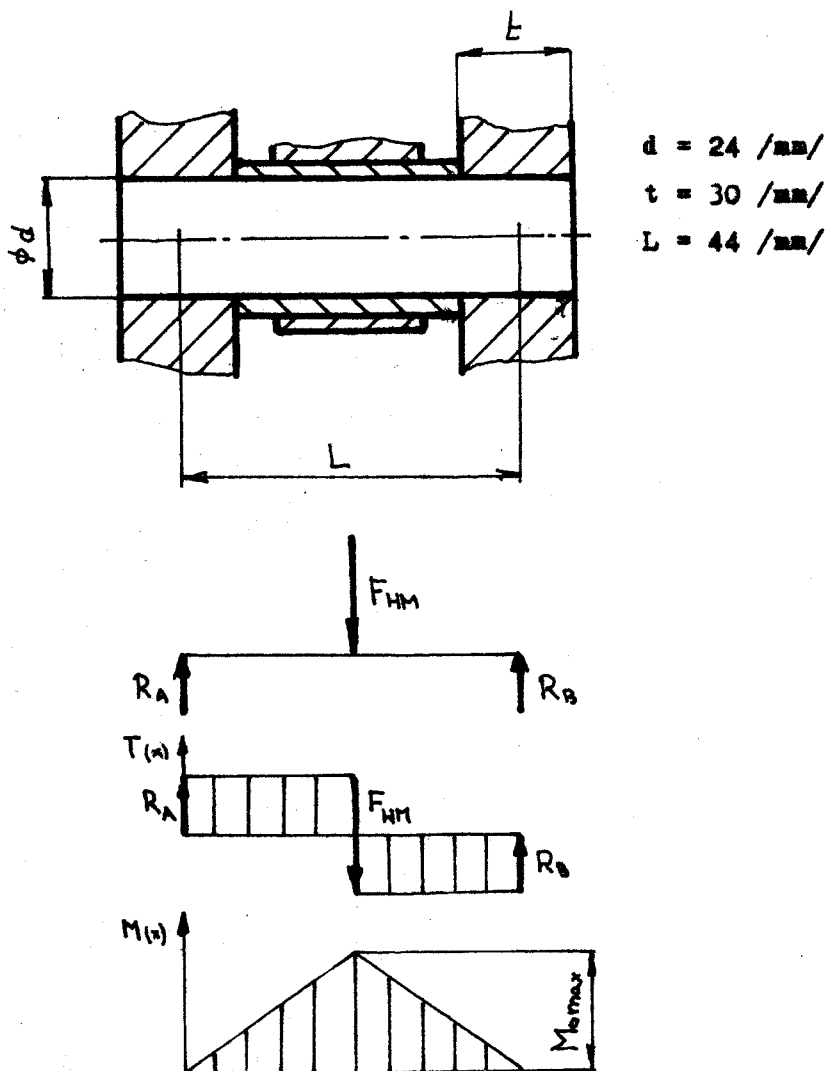
/47/

kde:  $k = 1,12 \dots \text{bezpečnost}$

$$M_y = 0,12 \cdot 41 \cdot 136 \cdot 60 \cdot 10^{-3} = 296,2 \text{ /Nm} < M_D \text{ /vyhovuje/}$$

#### 4.4.4 Čep B + C -kontrola

Výpočet provádím z jednodušeně, zaměnuji spojité obtížení nosníku za osamělou sílu. Provádím to z toho důvodu, že existují vůle mezi peuzdry a čepem a materiál čepu i pouzder nemí absolutně tuhý. Pokud bych prováděl výpočet se spojitým namáháním, místo ohýbu bych čep kontroloval na stříh. Protože smykové napětí vychází menší než ohýbové, považuji za směrodatné čep kontrolovat na ohýb. Rozměry čepu jsou na obr.21.



**obr.21**

- výpočet reakcií:

$$R_A + R_B - P_{HM} = 0$$

/48/

$$R_A = R_B = \frac{P_{HM}}{2}$$

/49/

$$R_A = R_B = \frac{45\ 300}{2} = 22\ 650 \text{ /N/}$$

Velim materiál 14 220:  $\bar{\sigma}_{Dt} = \bar{\sigma}_{De} = 200 \text{ /MPa/}$

$$P_D = 100 \text{ /MPa/}$$

$$\bar{\sigma}_e = \frac{M_0}{W_0}$$

/50/

kde:

$$M_0 = R_A \frac{\pi d^3}{32}$$

/51/

$$M_0 = 22\ 650 \cdot 22 = 498\ 300 \text{ /Nm/}$$

$$W_0 = \frac{\pi d^3}{32}$$

/52/

- po dosazení vztahu /52/ do /50/ a po následné úpravě dostaneme, že průmér  $d$  je:

$$d = \sqrt[3]{\frac{32 \cdot M_0}{\pi \cdot \bar{\sigma}_{De}}}$$

/53/

$$d = \sqrt[3]{\frac{32 \cdot 498\ 300}{\pi \cdot 200}} = 29,38 \text{ /mm/}$$

$$d = 30 \text{ /mm/}$$

-kontrola čepu po navrtání otvoru pro maznici  $\phi \bar{d} = 6,6 \text{ /mm/}$ , otvor vyvrtán podélně v osu čepu.

$$\bar{\sigma}_e = \frac{M_0}{W_0}$$

kde:

$$W_0 = \frac{\pi}{32} \cdot \frac{d^4 - \bar{d}^4}{d}$$

/54/

-po úpravě dostaneme:

$$\bar{\sigma}_e = \frac{32 \cdot M_0 \cdot d}{\pi \cdot d^4 - \bar{d}^4} \leq \bar{\sigma}_{De}$$

/55/

$$\bar{\sigma}_e = \frac{32 \cdot 498\ 300 \cdot 30}{\pi \cdot 30^4 - 6,6^4} = 188,4 \text{ /MPa/} < \bar{\sigma}_{De} \text{ /vyhovuje/}$$

- kontrola na měrný tlak v uložení:

$$p = \frac{R_A}{d \cdot t}$$

/56/

$$p = \frac{22,650}{30 \cdot 30} = 25,16 \text{ /MPa/} < p_D \text{ /vyhovuje/}$$

- kontrola pod okem hydromotoru:

$$p = \frac{F_{HM}}{d \cdot l}$$

/57/

$$p = \frac{45,300}{30 \cdot 24} = 62,9 \text{ /MPa/} < p_D \text{ /vyhovuje/}$$

#### 4.4.5 Čep - D - kontrola

Schema čepu stejné jako na obr.21, pouze jsou jiné rozměry:

$$L = 55 \text{ /mm/}$$

$$t = 15 \text{ /mm/}$$

Síla  $F_{HM}$  odpovídá síle  $F_{VH} = 4530 \text{ /N/}$ .

- výpočet reakcí dle vztahu /49/:

$$R_A = R_B = \frac{F_{VH}}{2}$$

$$R_A = R_B = \frac{4530}{2} = 2265 \text{ /N/}$$

Volím materiál 12 050 kde:  $\sigma_{Dt} = \sigma_{Do} = 155 \text{ /MPa/}$

- $M_0$  ze vztahu /51/:

$$M_0 = 2265 \cdot \frac{55}{2} = 62287,5 \text{ /Nm/}$$

$$p_D = 80 \text{ /MPa/}$$

- výpočet průměru hřídele dle vztahu /53/:

$$d = \sqrt{\frac{32 \cdot 62287,5}{\pi \cdot 155}} = 15,9 \text{ /mm/}$$

volím  $\phi d = 25 \text{ /mm/}$

- kontrola čepu po navrtání otvoru pro maznici /  $\phi d = 6,6 \text{ /mm/}$  /

Výpočet prevedu dle vztahu /55/.

$$\sigma_e = \frac{32 \cdot 62287,5 \cdot 25}{\pi / 25^4 - 6,6^4} = 40,8 \text{ /MPa/} < \sigma_{Do} \text{ /vyhovuje/}$$

- kontrola pro měrný tlak v uložení dle vztahu /56/:

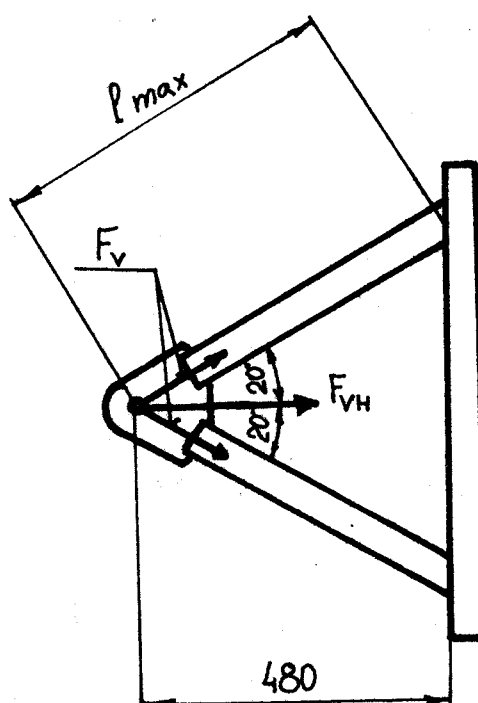
$$p = \frac{2265}{25 \cdot 15} = 6,04 \text{ /MPa/} < p_D \text{ /vyhovuje/}$$

- kontrola pod ramenem dle vztahu /57/

$$p = \frac{4 \cdot 530}{25 \cdot 40} = 4,53 \text{ MPa} < p_D \text{ /vyhovuje/}$$

#### 4.4.6 Vysouvací tyče

Vysouvací tyče jsou namáhaný na vzdér a ohyb. Z hlediska namáhání jsem zvolil dvě tyče pro každé vysouvací rameno. Profil tyčí jsem zvolil lít jako čtvercový s rozměru 50 x 50 / ČSN 42 6935/. Schema vysouvacích tyčí na obr.22.



obr.22

$$l_{\max} = 480 \cdot \frac{1}{\cos 20^\circ} = 511 \text{ mm} \quad /58/$$

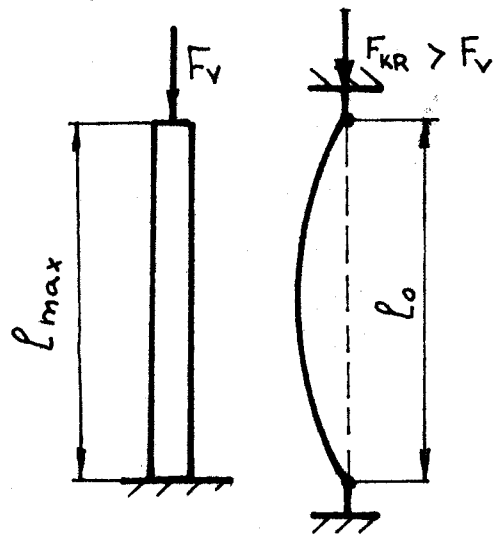
Po rozložení síly  $F_{VH}$  do jednotlivých tyčí dostanu síly namáhající tyče na vzdér a ohyb. Síly, které tyče ohýbají jsou zanedbatelné vůči silám, které způsobují vzdér, proto je v dalším výpočtu zanedbám.

$$F_{VH} = 4530 \text{ N} \dots \text{maximální vysouvací síla}$$

$$F_V = \frac{1}{2} \cdot F_{VH} \cdot \frac{1}{\cos 20^\circ} \quad /59/$$

$$F_V = \frac{1}{2} \cdot 4530 \cdot \frac{1}{\cos 20^\circ} = 2410,4 \text{ N}$$

- kontrole - schema obr.23:



obr.23

U kontroly na vzpěr musíme určit, zda budeme počítat dle Eulera nebo Tetmajera. Podle Tetmajera budeme počítat pokud

kde:  $\lambda$  ..... štíhlosť prutu

$$\lambda_m \dots \text{mezni štíhlosť /ocel } 90 + 105/$$

$$\lambda_m = \sqrt{\frac{E}{\sigma_y}}$$

/60/

kde: E ..... modul pružnosti v tahu

$\sigma_y$  ..... napětí ve vzpěru

Pro materiál 11 500:  $E = 2,1 \cdot 10^5 \text{ /MPa/}$

$$\sigma_y = 430 \text{ /MPa/}$$

$$\lambda = \frac{l_0}{i} = \frac{l_{max}}{2i}$$

/61/

kde:  $l_{max}$  .... délka prutu

$$l_0 \dots \text{redukovaná délka prutu } /l_0 = \frac{l_{max}}{2}/$$

i ..... poloměr extrvačnosti plochy S

Pro náš zvolený profil máme tyto hodnoty:

$$S = 529,5 \text{ /mm}^2/$$

$$J_{min} = 18,921 \cdot 10^4 \text{ /mm}^4/$$

$$i = 18,9$$

$$w = 7,569 \cdot 10^3 / \text{mm}^3 /$$

- podle vztahu /61/:

$$\lambda = \frac{511}{2 \cdot 18,9} = 13,5$$

- podle vztahu /60/:

$$\lambda_m = \sqrt{\frac{2,1 \cdot 10^5}{480}} = 65,71$$

$\lambda < \lambda_m$  - výpočet dle Tetmajera

Kritická síla dle Tetmajera:

$$F_{KR} = S \cdot \sigma_{KR}$$

/62/

kde:  $\sigma_{KR}$  .... kritické napětí

Pro nepružný vzpěr platí:

$$\sigma_{KR} = 335 - 0,62\lambda / \text{to však platí pro } \lambda > 60 /$$

Naše  $\lambda$  je menší a proto platí, že  $\sigma_{KR} = 270 / \text{MPa} /$ .

$$F_{KR} = 529,5 \cdot 270 = 142,97 / \text{kN} /$$

Skutečná síla:

$$F_{KR} = \frac{F_{KR}}{K}$$

/63/

kde: K .... bezpečnost proti vybočení /2 ≠ 40/

K = 5 volím

$$F_{KR} = \frac{142,97}{5} = 28,59 / \text{kN} /$$

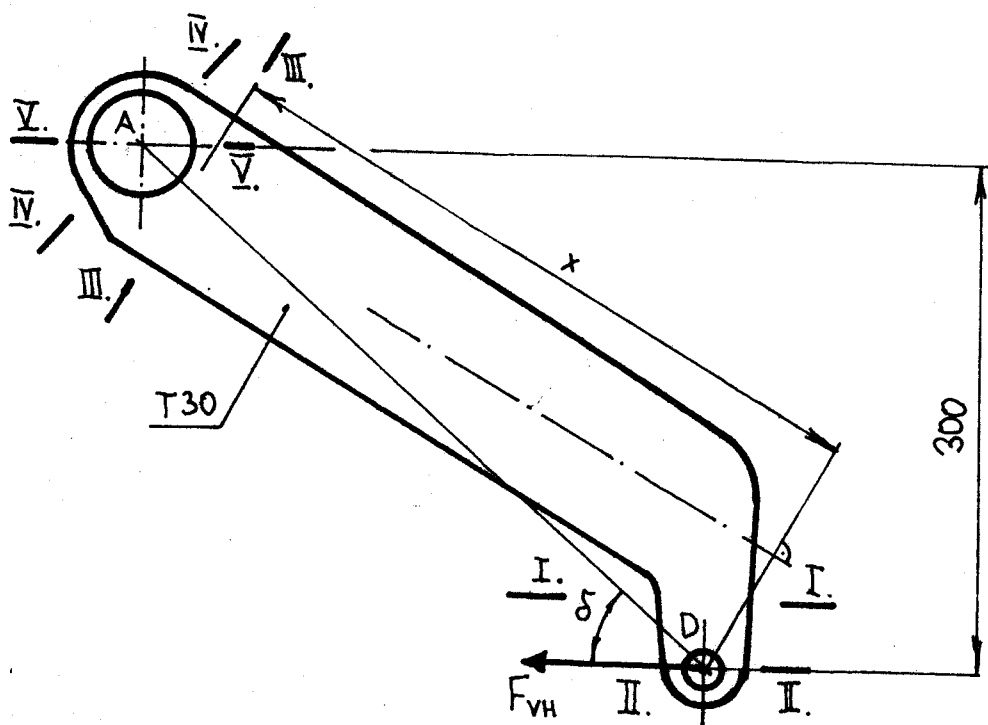
$$\underline{F_{KR} > F_V / \text{vyhovuje} /}$$

#### 4.4.7 Rameno

Volený materiál: 11 343 /  $\sigma_{pt} = 340 / \text{MPa} /$ ,  $\sigma_{kt} = 180 / \text{MPa} /$ ,  $\sigma_{dt} = 80 / \text{MPa} /$ ,

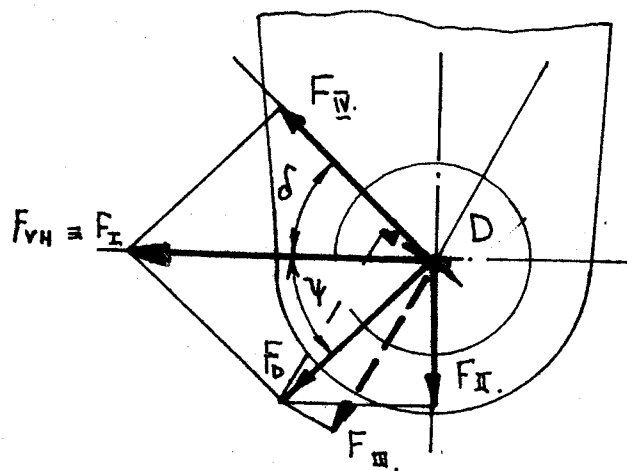
$$\sigma_{de} = \sigma_{dt} /$$

Schéma páky je na obr. 24:

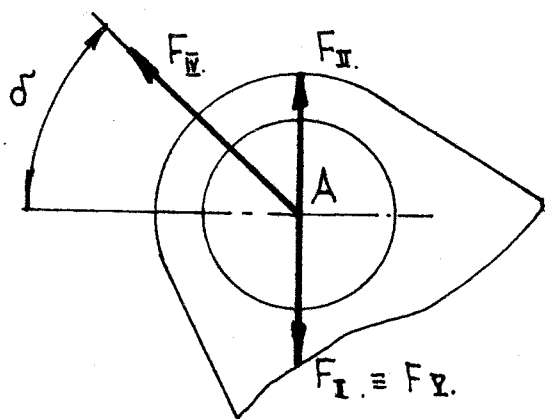


obr.24

Rezklady sil v bodech A a D jsou provedeny na obr.26 a obr.25.



obr.25



obr. 26

Výpočet sil:

$$F_{VH} = F_I = 4530 \text{ N/}$$

$$F_{II} = \frac{1}{2} \cdot \frac{M_{KAM}}{d} \cdot \cos 36^\circ$$

$$F_{II} = \frac{2726 \cdot 10^3}{500 \cdot 2} \cdot \cos 36^\circ = 2205,3 \text{ N/}$$

$$F_{II} = 2205,3 \text{ N/}$$

$$F_{III} = \frac{M_{KAM}}{2 \cdot d} \cdot \sin 84^\circ$$

$$F_{III} = \frac{2726 \cdot 10^3}{2 \cdot 500} \cdot \sin 84^\circ = 2711 \text{ N/}$$

$$F_{III} = 2711 \text{ N/}$$

$$F_{IV} = \frac{M_{KAM}}{2 \cdot d} \cdot \frac{\cos 54^\circ}{\cos 36^\circ}$$

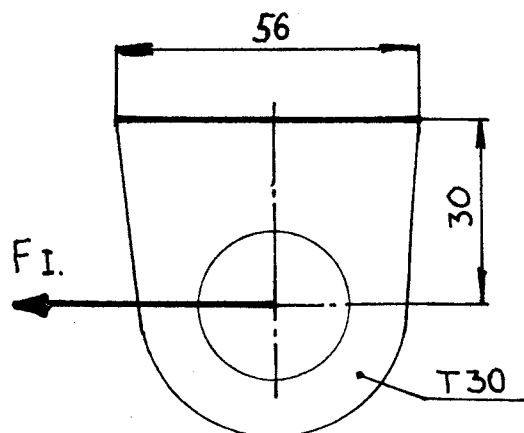
$$F_{IV} = \frac{2726 \cdot 10^3 \cdot \cos 54^\circ}{2 \cdot 500 \cdot \cos 36^\circ} = 1981 \text{ N/}$$

$$F_{IV} = 1981 \text{ N/}$$

$$F_V = F_{II} = 2205,3 \text{ N/}$$

Kontrola:

KEZ I - I



obr.27

$$\sigma_0 = \frac{M_0}{W_0}$$

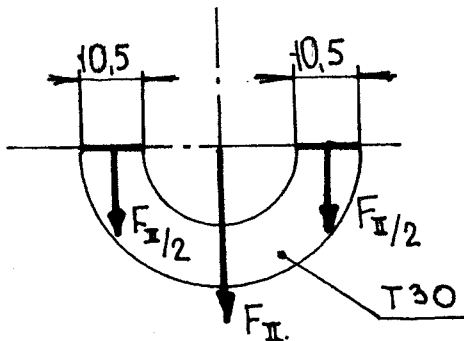
/64/

kde:  $M_0 = F_I \cdot 30 = 4500 \cdot 30 = 135,9 \text{ /Nm/}$

$$W_0 = \frac{1}{6} \cdot 30 \cdot 56^2 = 15680 \text{ /mm}^3/$$

$$\sigma_0 = \frac{135,9 \cdot 10^3}{15680} = 8,66 \text{ /MPa/} < \sigma_{D0} \text{ /vyhovuje/}$$

KEZ II - II



obr.28

$$\sigma_T = \frac{F}{S}$$

/65/

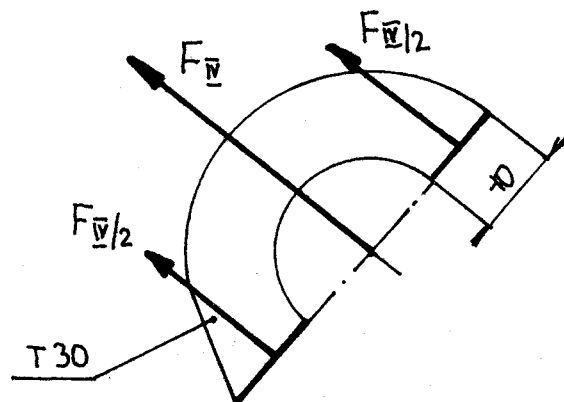
$$\sigma_T = \frac{2 \cdot 205,3}{10,5 \cdot 30 \cdot 2} = 3,5 \text{ /MPa/} < \sigma_{D_t} \text{ /vyhovuje/}$$

### ŘEZ III - III

Rameno namáhané ohybem od sily  $F_{III}$ . Dle vztahu /64/ kontrolujeme na ohyb.

$$\sigma_o = \frac{6 \cdot 2711 \cdot 460}{90^2 \cdot 30} = 30,8 \text{ MPa} / < \sigma_{Dt} / \text{vyhovuje} /$$

### ŘEZ IV - IV

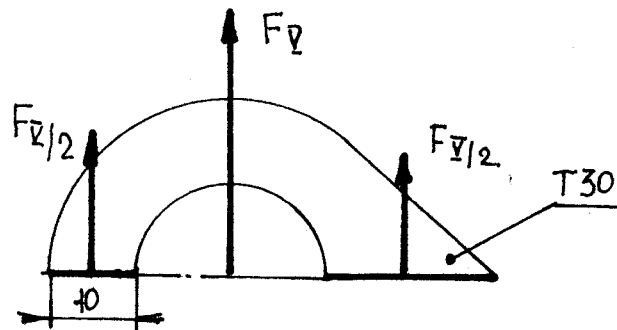


obr.29

Počítáno dle vztahu /65/

$$\sigma_T = \frac{F_{IV}}{2 \cdot S} = \frac{1981}{2 \cdot 10 \cdot 30} = 3,3 \text{ MPa} / < \sigma_{Dt} / \text{vyhovuje} /$$

### ŘEZ V - V

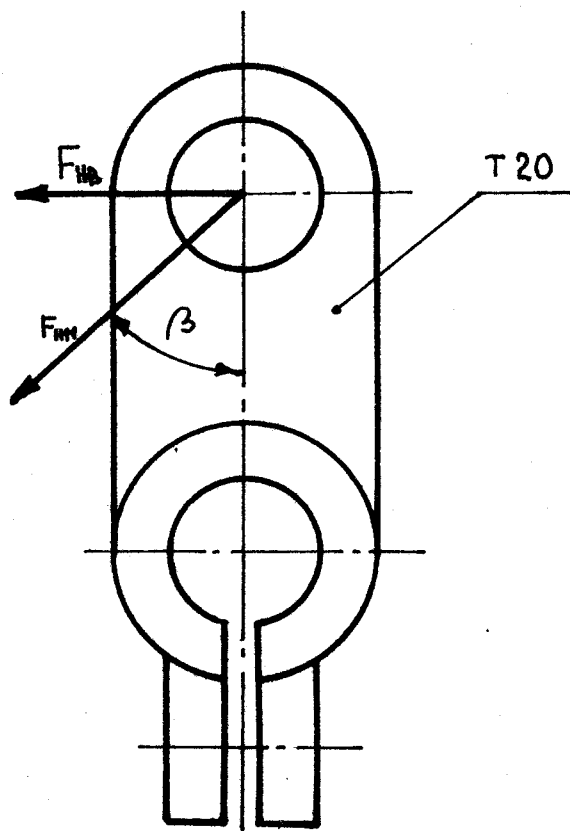


obr.30

Počítáno dle vztahu /65/ a kontrolujeme menší plechu.

$$\sigma_T = \frac{F_V}{2 \cdot S} = \frac{2205,3}{2 \cdot 10 \cdot 30} = 3,68 \text{ MPa} / < \sigma_{Dt} / \text{vyhovuje} /$$

4.4.8 Kontrola vysuvací páky a uložení čepu HM.



obr.31

$$F_{HB} = F_{BB} \cdot \sin \beta = 45\ 300 \cdot \sin 37^\circ = 27\ 262,2 \text{ /N/}$$

Kontrola oka na ohýb dle vztahu /64/:

$$\sigma_o = \frac{5 \cdot 27\ 262 \cdot 100}{2 \cdot 20 \cdot 80^2} = 63,9 \text{ /MPa/} < \sigma_{D0} \text{ /vyhovuje/}$$

Kontrola svaru:  $\tau_{SVD} = 30 \text{ /MPa/}$

materiál oka 12 050 / $\sigma_{D0} = 150 \text{ /MPa/}$ /

$$\tau_{II} = \frac{F_{HB}}{S_{SV}}$$

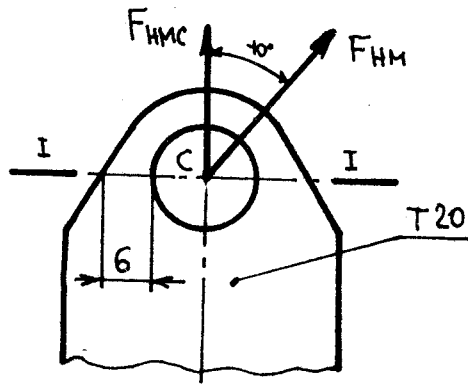
/66/

kde:  $S_{SV}$  .... ploch svaru

$$\tau_{II} = \frac{27\ 262}{\pi \cdot \frac{\pi \cdot d \cdot 0,7 \cdot 5}{2}} = 30,9 \text{ /MPa/} < \tau_{SVD} \text{ /vyhovuje/}$$

Kontrola uložení spodního čepu hydremotoru obr.32.

- materiál oka 11 373 / $\sigma_{D0} = 150 \text{ /MPa/}$ /



obr.32

Počítáno dle vztahu /65/

$$F_{HMC} = F_{HM} \cdot \cos \cdot 10^\circ$$

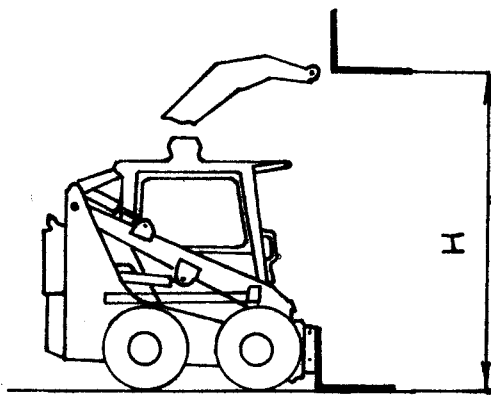
/67/

$$F_{HMC} = 45\ 300 \cdot \cos \cdot 10^\circ = 44\ 611,8 \text{ /N/}$$

$$\sigma_T = \frac{44\ 612}{20 \cdot 2 \cdot 6} = 32,9 \text{ /MPa/} < \sigma_{Dt} \text{ /vyhovuje/}$$

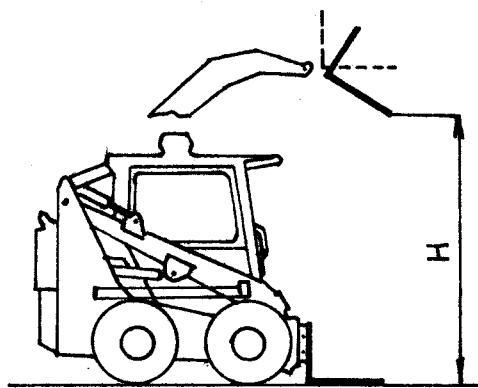
### 5. HYDRAULIKA ZAJIŠŤUJÍCÍ VYSOUVÁNÍ DESKY

Na výkresu KSD 192 - 0.13 a KSD 192 - 023 je návrh na vedení hydraulických tlakových hadic. Jsou použity pružné hadice s armováním [6].



H - maximální stohovací výška

Nakládací plošina s nuceným vyprazdňováním  
/pro vyprázdnění není nutno plošinu skládat/



H - maximální stohovací výška

Nakládací plošina bez nuceného vyprazdňování  
/pro vyprázdnění je nutno plošinu sklopit/

obr.33

## ZÁVĚR

Nástroj, který je řešen v této diplomové práci doplní přídavné pracovní zařízení UNC 060.

V diplomové práci je nástroj vyřešen konstrukčně a z části je provedena výpočetní pevnostní kontrola částí, které jsou nezbytné pro konstrukční provedení.

U další části práce by bylo třeba ještě pevnostně zkонтrolovat základní rám nástroje, který je řešen jako svařenec a vysouvací desku nástroje, která je řešena také jako svařenec.

Nástroj je řešen tak, aby byl snadno vyrábiteLNý pomocí základního strojního zařízení, které má ve své výbavě každý menší závod či JZD. Celý nástroj je konstruován z domácích materiálových i součástkových zdrojů včetně hydraulického obvodu.

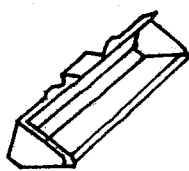
Plošina s automatickým vyprazdňováním či bez něj má význam především v zemědělství. Automatické vyprazdňování se uplatní hlavně při manipulaci s takovým materiálem jako je zemina, hnůj, siláž, atd. Nechá se uplatnit např. při stohování těchto materiálů, čímž dochází k úsporám skladovacích ploch. Plošina bez automatického vyprazdňování je konstrukčně velmi jednoduchá a nenáročná na výrobní zařízení. Lze ji uplatnit všude tam, kde by automatické vyprazdňování mohlo poškodit přepravovaný materiál. Pokud použijeme plošinu s automatickým vyprazdňováním, můžeme docílit větší výšky stohování, viz. obr. 33. Tato plošina je však výrobne i materiálově náročnější.

Význam nástroje spočívá nejen v tom, že rozšiřuje řadu doplňkových zařízení ke kolovému nakladači UNC 060, ale též zvyšuje universálnost a možnost nasazení tohoto kolového nakladače.

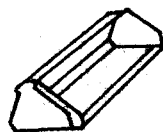
SEZNA POUŽITÉ LITERATURY

1. Doc. Ing. O. Červinka, CSc. a kol. : Pohonné jednotky - 1. díl VŠST Liberec 1985
2. Ing. M. Polcar: Mechanika I - Statika VŠST Liberec 1982
3. Doc. RNDr. R. Stříž, CSc.: Pružnost a pevnost I, II VŠST Liberec 1983
4. P. Vávra a kol.: Strojnické tabulky SNTL 1983
5. K. Koubek: Pracovní nástroj k délkově přestavitelným nakládacím zařízením kolejových naklaďaců /diplomová práce/ VŠST Liberec 1988
6. Katalog hydraulických prvků /Technometra/ Praha 1981

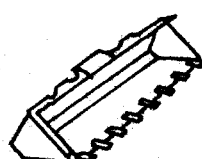
**PŘÍLOHA č.1**



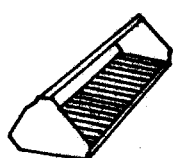
**Lopata na lehké hmoty**



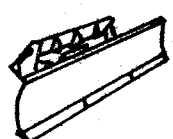
**Bezzubá lopata**



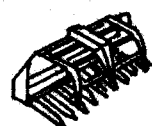
**Zubevá lopata**



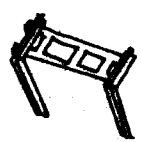
**Roštová lopata**



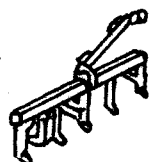
**Výkyvná radlice**



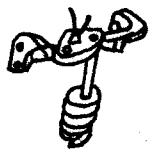
**Vidlo s přidržovačem**



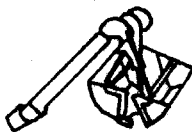
**Paletizační vidlo**



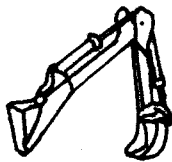
**Kypřič**



Vrtací zařízení



Drapák

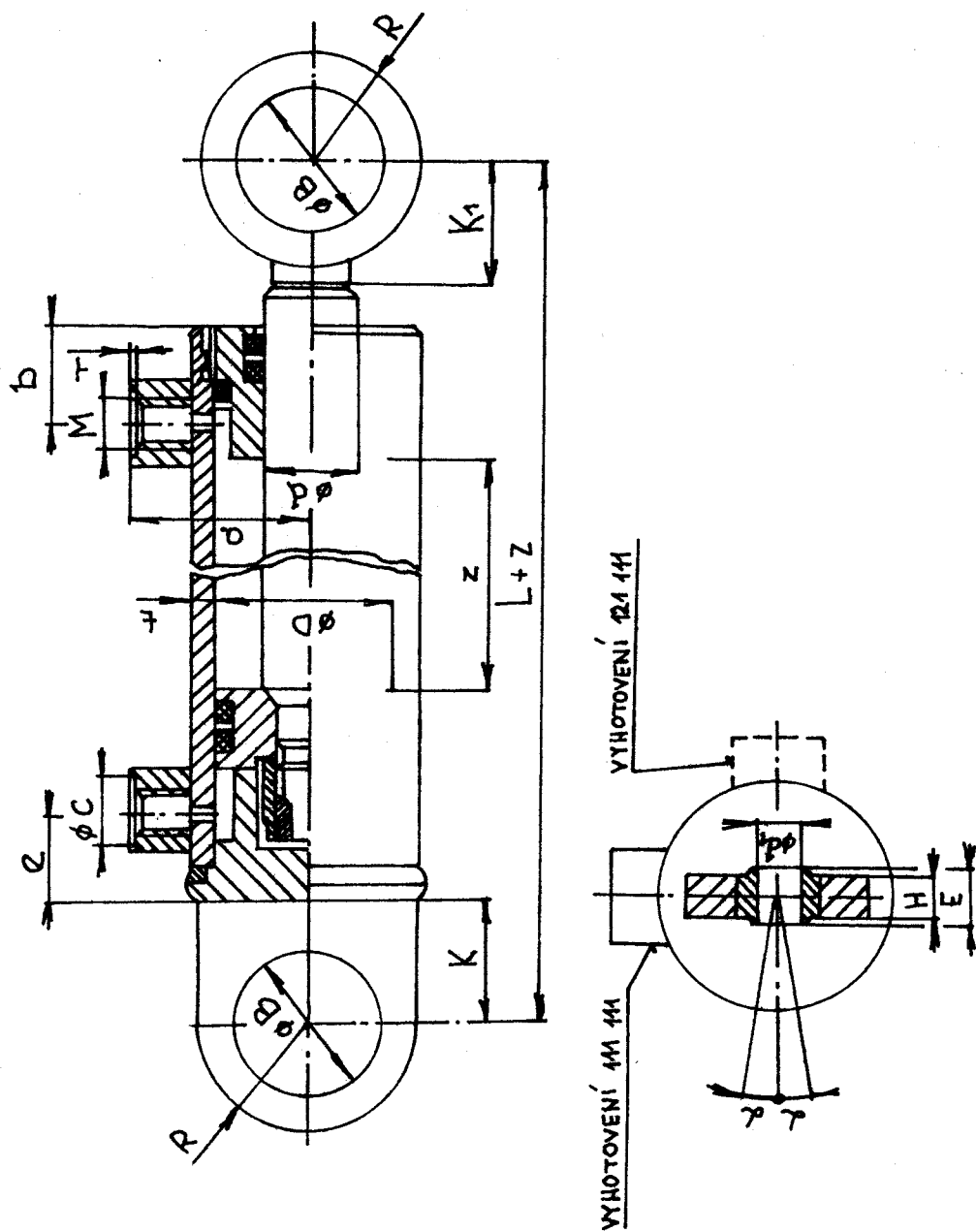


Návěsný pedkop



Drenážní lopata

**PRÍLOHA č.2**



X -  $\phi$  válce

Y -  $\phi$  pistnice

Z - pořadové číslo

X	Y	Doporučené zvihy									
		63	80	100	125	160	200	250	320	400	500
40	22		•	•	•	•	•	•	•	•	
50	25		•	•	•	•	•	•	•	•	
63	32			•	•	•	•	•	•	•	
80	40				•	•	•	•	•	•	•

Rozměrová tabulka řady HM											
Z	Zákl. rozměry				Vedlejší rozměry						
	DH9	d19	t	L	a	b	EW7	H	•		
40	40	22	5	152	39	27,5	35	12,5	27		
50	50	25	6	177	49	40	42	16,6	31,5		
63	63	32	7	185	56,5	42	42	16,6	35		
80	80	40	8	205	67	46	47	18,6	38		

Z	Zástavbové rozměry							
	M5d	C	E+2	K	K <sub>1</sub>	R	d <sub>1</sub>	
40	16x1,5	20	16	31	29	27	20	
50	22x1,5	27	20	36	34	32,5	25	
63	22x1,5	27	20	38	38	38	25	
80	27x2	32	22	42	42	40,5	30	

	Název	Popis	Výrobce	Kód	
2	TR + 70 x 50 x 3	ČSN 42 6936	H 373	007	1
2	TR + 70 x 50 x 3	ČSN 42 6936	H 373	007	2
2	TR + 70 x 50 x 3	ČSN 42 6936	H 373	007	3
2	P 6 x 616 x 860	ČSN 42 5310	H 373	007	4
1	P 6 x 1700 x 890	ČSN 42 5310	H 373	007	5
1	P 6 x 1700 x 50	ČSN 42 5310	H 373	007	6
2	P 6 x 80 x 62	ČSN 42 5310	H 373	007	7
2	P 6 x 144 x 374	ČSN 42 5310	H 373	007	8
2	P 6 x 50 x 50	ČSN 42 5310	H 373	007	9
2	Ø 32 x 80	ČSN 42 5510	H 373	007	10
2	P 6 x 384 x 120	ČSN 42 5310	H 373	007	11
1	P 10 x 1700 x 600	ČSN 42 5310	H 373	007	12
1	P 10 x 810 x 60	ČSN 42 5310	H 373	007	13

M. Flekáč

13.5.1989

ODDĚLENÝ  
KUSOVNÍK

KSD 492 - 1.00

N

	Název a popis	Použití	Mat. čs. řád	počet		
1	RÁM	SVAŘENEC			KSD 492 - 0.44	1
1	VYSOUVACÍ DESKA SVAŘENEC				KSD 492 - 0.42	2
1	DESKA P8-1680x660 ČSN 42 5310	H 373		007		3
1	PÁKA	SVAŘENEC				4
2	PÁKA	SVAŘENEC				5
1	HŘÍDEL +60x620 ČSN 42 6510	H 220		021		6
2	ČEP +40x100 ČSN 42 6510	H 220		021		7
8	POUZDRO +50x15 ČSN 42 5510	H 500		001		8
4	PODLOŽKA 31 ČSN 02 4702					9
2	P 8x120x40 ČSN 42 5310	H 500		001		10
4	POUZDRO +40x14 ČSN 42 5510	H 500		001		11
4	POUZDRO +50x30 ČSN 42 5510	H 500		001		12
8	POUZDRO +70x40 ČSN 42 5510	H 500		001		13
2	VÍKO +75x4 ČSN 42 5510	H 500		001		14
2	ŠROUB M12x40 ČSN 02 4101					15
4	ŠROUB M12x30 ČSN 02 4101					16
3	ŠROUB M20x50 ČSN 02 4101.51					17
2	PODLOŽKA 12 ČSN 02 4740					18
4	PODLOŽKA 12 ČSN 02 4740					19
3	PODLOŽKA 20 ČSN 02 4740					20

M. Flekral

13.5.1989

ODDĚLENÝ  
KUSOVNÍK

KSD 492 - 2.00

	Název + rozměr	Počet kusů	Stávka kusovníku	Ceník	Číslo
4	ČEP $\phi 50 \times 150$	ČSN 42 5540	41500	001	21
4	ZÁVLAČKA $\phi 8 \times 40$	ČSN 02 2040			22
4	KOLO $\phi 110 \times 90$	PRYŽ			23

M. Flek

N

13.5.1989

ODDĚLENÝ  
KUSOVNÍK

KčD 192 - 2.00

2

2

řád číslo	Název - rozměr	Počet kusů	Materiál	Výrobek	Stupeň úpravy	C	D	E	F	G
1	TR #3x100x60 - 1700	ČSN 42 6936	H 373		007					1
2	TR #3x100x60 - 590	ČSN 42 6936	H 373		007					2
2	TR #3x100x60 - 590	ČSN 42 6936	H 373		007					3
2	TR #3x70x50 - 620	ČSN 42 6936	H 373		007					4
2	TR #3x70x50 - 386	ČSN 42 6936	H 373		007					5
2	P20 x 100 x 706	ČSN 42 6936	H 373		007					6
2	P16 x 80 x 70	ČSN 42 6936	H 373		007					7
2	Ø 80 x 100	ČSN 42 5540	H 373		007					8
2	P6 x 98 x 394	ČSN 42 5340	H 373		007					9
2	P6 x 98 x 80	ČSN 42 5340	H 373		007					10
2	P6 x 50 x 50	ČSN 42 5340	H 373		007					11
2	Ø 30 x 90	ČSN 42 5540	H 373		007					12
2	Ø 44 x 70	ČSN 42 5540	H 373		007					13
2	P4 x 120 x 50	ČSN 42 5340	H 373		007					14
1	P10 x 1700 x 1040	ČSN 42 5340	H 373		007					15
2	P10 x 680 x 1040	ČSN 42 5340	H 373		007					16
2	P20 x 100 x 120	ČSN 42 5340	H 373		007					17
2	P10 x 60 x 1040	ČSN 42 5340	H 373		007					18
2	Ø 44 x 20	ČSN 42 5540	H 373		007					19

M. Flekral

43.5 1985

ODDELENÝ  
KUSOVNÍK

KSD 192 - 3.00

N

pořadí	Název - popis	Použitý materiál	číslo koncový	Materiál	řízení odp.	číslo výroby	Výrobce	Příloha
1								
2	ČEP 430 x 45	ČSN 42 6510	44 220		021			4
2	ZÁVLAČKA 8 x 40	ČSN 02 2040						2
1	HM 80/40/460		44 44 TPHM 4-9-844					3
2	SPOJKA Js 45	ČSN 43 7720						4
2	KROUŽEK 27 x 32	ČSN 02 9310.4						5
2	SPOJKA Js 45	ČSN 43 7720						6
4	HADICE	ČSN 43 7822.3						7

M. Flekral

N

ODDĚLENÝ  
KUSOVNÍK

KSD 192-4.00

2	TR + 70x50x3	ČSN 42 6936 H 373	007	1
2	TR + 70x50x3	ČSN 42 6936 H 373	007	2
2	TR + 70x50x3	ČSN 42 6936 H 373	007	3
2	P 6x616x860	ČSN 42 5310 H 373	007	4
	P 6x1700x890	ČSN 42 5310 H 373	007	5
	D 16x1700x50	ČSN 42 5310 H 373	007	6
	80x62	ČSN 42 5310 H 373	007	7
	6x144x574	ČSN 42 5310 H 373	007	8
	P 6x50x50	ČSN 42 5310 H 373	007	9
	Φ 32x80	ČSN 42 5510 H 373	007	10
	P 6x384x120	ČSN 42 5310 H 373	007	11
	P 10x1700x600	ČSN 42 5310 H 373	007	12
	P 10x810x60	ČSN 42 5310 H 373	007	13

Název + počet	Firma	Mat. číslo	
4 ČEP $\phi 50 \times 150$	ČSN 42 5510	11 500	004
4 ZÁVLAČKA $\phi 8 \times 40$	ČSN 02 2010		21
4 KOLO $\phi 140 \times 90$	PRÝŽ		22

M. Flekal

N

13.5 1989

# ODDĚLENÝ KUSOVNÍK

KSD 492 - 2.00

2

1	RÁM	SVAŘENEC	KSD 192 - 0.41
1	VYSOUVACÍ DESKA	SVAŘENEC	KSD 192 - 0.42
1	DESKA P8-1680x660 ČSN 42 5310	41 373	007
1	PÁKA	SVAŘENEC	
2	PÁKA	SVAŘENEC	
1	HŘÍDEL ⌀ 60 x 620 ČSN 42 6510	4 220	021
2	ČEP ⌀ 40 x 100 ČSN 42 6510	4 220	021
3	POUZDRO ⌀ 50 x 15 ČSN 42 5510	4 500	001
4	PODLOŽKA 31 ČSN 02 4702		
2	P 8 x 120 x 40 ČSN 42 5310	4 500	001
1	POUZDRO ⌀ 40 x 14 ČSN 42 5510	4 500	001
1	POUZDRO ⌀ 50 x 30 ČSN 42 5510	4 500	001
3	POUZDRO ⌀ 70 x 40 ČSN 42 5510	4 500	001
.	VÍKO ⌀ 75 x 4 ČSN 42 5510	4 500	001
.	ŠROUB M12 x 40 ČSN 02 4101		
.	ŠROUB M12 x 30 ČSN 02 4101		
.	ŠROUB M20 x 50 ČSN 02 4101.51		
.	PODLOŽKA 12 ČSN 02 4740		
.	PODLOŽKA 12 ČSN 02 4740		
.	PODLOŽKA 20 ČSN 02 4740		
.	M. Flekář		

13.5 - 1989

ODDĚLENÝ  
KUSOVNÍK

KSD 192 - 2.00

počet	popis	šířka	mat. kód	typ	počet	počet
2	ČEP 430 x 45	ČSN 42 5510	14 220		021	4
2	ZÁVLAČKA 8 x 40	ČSN 02 2010				2
1	HM 80/40/160	111 111 TPHM 1-9-8141				3
2	SPOJKA Js 45	ČSN 43 7720				4
2	KROUŽEK 27 x 32	ČSN 02 93104				5
2	SPOJKA Js 45	ČSN 43 7720				6
4	HADICE	ČSN 43 7822.3				7

M. Flekáč

N

ODDĚLENÝ  
KUSOVNÍK

KSD 192 - 4.00

	Název - popis	Kódový číslo	Údaj koncový	Údaj výrobce	Údaj o délce	Údaj o šířce	Údaj o tloušťce	Údaj o hmotnosti	Údaj o počtu
2	ČEP 6 30 x 115	ČSN 42 6510	44 220					024	1
2	ZÁVLAČKA 8 x 40	ČSN 02 2040							2
1	HM 80/40/160		111 111 TPHM	1-9-8141					3
2	SPOJKA Js 15	ČSN 43 7720							4
2	KROUŽEK 27 x 32	ČSN 02 9310.4							5
2	SPOJKA Js 15	ČSN 43 7720							6
4	HADICE	ČSN 43 7822.3							7

M. Flešar

ODDĚLENÝ  
KUSOVNÍK

KSD 192 - 4.00